

Metody pomiaru jasności nocnego nieba

I. Metody obserwacyjne

Metody obserwacyjne polegają na obserwacji obiektów astronomicznych na tle nocnego ("zanieczyszczonego") nieba i oszacowaniu na ich podstawie jego jasności, toteż nazywa się je metodami astronomicznymi. Ich zaletą jest przede wszystkim niski koszt pomiaru, a także możliwość przeprowadzenia go w dowolnym miejscu. Do zalet można również zaliczyć możliwość wykorzystania obserwacji archiwalnych, niebędących intencjonalnie obserwacjami zanieczyszczenia świetlnego, a zatem w pełni obiektywnych.

Skala Berry'ego (BE)

Do metod obserwacyjnych można zaliczyć skalę oszacowania poziomu zanieczyszczenia świetlnego, zaproponowaną w 1976 r. przez R.L. Berry'ego⁵⁰. Skala ta jest oparta na prostych obserwacjach nieba i nie wymaga większego doświadczenia obserwacyjnego. Zawiera ona sześć poziomów:

1. niebo o jasności $21.7 \text{ mag/arcsec}^2$ - niebo gęsto usiane gwiazdami aż po horyzont, z widoczną w bezmgiełnej nocy, również po horyzont, Drogą Mleczną i chmurami widocznymi jako ciemne przesłony na tle nieba;
2. niebo o jasności $21.6 \text{ mag/arcsec}^2$, - różni się od poprzedniego widzialną na horyzoncie w kierunku miasta poświatą i rozjaśnionymi w tamtym miejscu chmurami;
3. niebo o jasności $21.1 \text{ mag/arcsec}^2$ - nie pozwala już na obserwację Drogi Mlecznej nisko nad horyzontem, a chmury w zenicie wydają się być szarawe, podczas gdy nad horyzontem w kierunku miasta wydają się być jasne;
4. niebo o jasności $20.4 \text{ mag/arcsec}^2$ - obraz Drogi Mlecznej w zenicie jest mało kontrastowy, a drobne szczegóły niewidoczne, zasięg widoczności gwiazd jest znacznie ograniczony i nie sprawiają już wrażenia wielkich i bliskich, chmury są jasne nawet w zenicie;
5. niebo o jasności $19.5 \text{ mag/arcsec}^2$ - Droga Mleczna jest ledwo widoczna tylko w zenicie, niebo jest jasne i blisko horyzontu w kierunku miasta wyblakłe;
6. niebo o jasności $18.5 \text{ mag/arcsec}^2$ - gwiazdy są słabe i wyblakłe, zredukowane do liczby kilkuset, niebo jest jasne i wyblakłe na całej powierzchni.

⁵⁰ Berry R.L., Light Pollution in Southern Ontario, The Journal of the Royal Astronomical Society of Canada, vol. 70, no. 3, June 1976, pp. 97-115.

Skala Bortle'a (BO)

Obecnie powszechnie używana jest dziewięciostopniowa skala Bortle'a⁵¹:

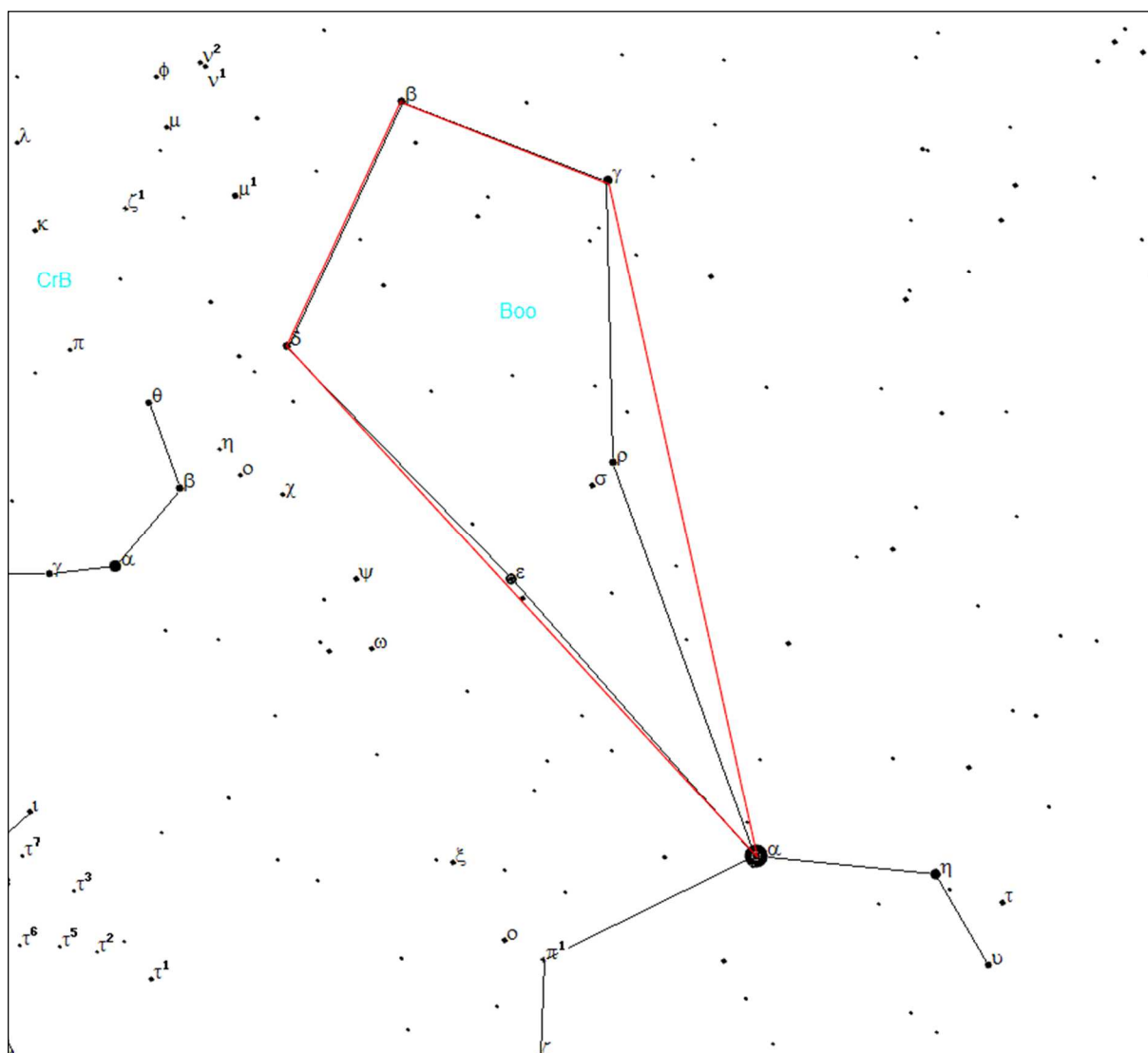
1. Nadzwyczajnie ciemne niebo. Widoczne są: światło zodiakalne, przeciwświecenie i pas zodiakalny, nie są widoczne jakiegokolwiek szczegóły obiektów znajdujących się na powierzchni ziemi. Najjaśniejsze obszary Drogi Mlecznej rzucają wyraźne cienie na powierzchnię ziemi. Wyraźnie widoczna jest poświata atmosferyczna. Zasięg wizualny najślabszych gwiazd wynosi 7.6-8.0 mag. Niebo takie występuje jedynie w okolicach okołorównikowych.
2. Typowe ciemne niebo. Poświata atmosferyczna jest słabo widoczna przy horyzoncie, światło zodiakalne rzuca wyraźne cienie o świcie i o zmierzchu, obłoki są widoczne jako ciemne plamy na tle gwiazd. Wyraźnie jest widoczna struktura Drogi Mlecznej. Zasięg wizualny najślabszych gwiazd wynosi 7.1-7.5 mag. Otoczenie jest słabo widoczne, wyłącznie w postaci zarysów na tle nieba. Zgodnie z opinią polskich astronomów, warunki takie występują np. w północno-wschodniej i południowo-wschodniej Polsce (w Bieszczadach).
3. Niebo wiejskie. Horyzont jest wyraźnie jaśniejszy od zenitu, obłoki nad horyzontem mogą być lekko podświetlone. Światło zodiakalne wyraźnie widoczne na wiosnę i jesienią. Zasięg wizualny najślabszych gwiazd wynosi 6.6-7.0 mag. Słabo widoczne bliskie otoczenie. Niebo tej klasy zarejestrowano w odległości ok. 30 km na północ od Krakowa.
4. Niebo obszarów przejściowych wieś - przedmieścia. Nad horyzontem widoczne są łuny pochodzące od okolicznych miejscowości. Droga Mleczna jest widoczna, lecz bez wyraźnej struktury. Obłoki w pobliżu łun światła są wyraźnie oświetlone, lecz nadal ciemne w zenicie. Zasięg wizualny najślabszych gwiazd wynosi 6.1-6.5 mag. Otoczenie wyraźnie widoczne. W okolicy Krakowa do tej klasy należy zaliczyć niebo w odległych o 22 km od centrum miasta Jerzmanowicach (stanowisko pomiarowe JER).
5. Niebo podmiejskie. Światło zodiakalne widoczne tylko częściowo w najciemniejsze noce na wiosnę i jesienią. Droga Mleczna widoczna jest niewyraźnie, tylko wysoko nad horyzontem. Źródła światła widoczne są we wszystkich kierunkach. Obłoki są wyraźnie jaśniejsze od tła nieba na całym jego obszarze. Zasięg wizualny najślabszych gwiazd wynosi 5.6-6.0 mag. Warunki te spełnia niebo w Mogilanach, 14 km na południe od Krakowa (stanowisko pomiarowe MOG).
6. Jasne niebo podmiejskie. Światło zodiakalne jest niewidoczne, Droga Mleczna częściowo widoczna tylko w pobliżu zenitu. Niebo do wysokości 35° nad horyzontem jest szaro-białe. Obłoki na całym niebie są jasne. Zasięg wizualny najślabszych gwiazd wynosi 5.1-5.5 mag.
7. Niebo obszarów przejściowych przedmieścia - miasto. Całe niebo ma szaro-białą odcień. Silne źródła światła są widoczne we wszystkich kierunkach. Obłoki są jasno oświetlone. Zasięg wizualny najślabszych gwiazd wynosi 4.6-5.0 mag.
8. Niebo miejskie. Niebo świeci światłem białym lub pomarańczowym, można czytać tytuły artykułów w gazetach. Większość gwiazdozbiorów jest nierozpoznawalna. Zasięg wizualny najślabszych gwiazd wynosi 4.1-4.5 mag. Warunki te spełnia większość osiedli mieszkaniowych w Krakowie (np. stanowisko pomiarowe KPO).
9. Niebo centrów miast. Całe niebo jest jasno oświetlone, nawet w zenicie. Z obiektów niebieskich widoczne są właściwie tylko Księżyc, planety i najjaśniejsze gwiazdy. Zasięg wizualny najślabszych gwiazd wynosi w najlepszym razie 4.0 mag.
10. Powyższe metody są użyteczne przy amatorskiej ocenie jakości nocnego nieba. Są one jednak mało precyzyjne, dlatego też już od dawna rozwijane były bardziej zaawansowane metody obserwacyjne, wymagające jednak pewnego doświadczenia oraz przygotowania.

⁵¹ Bortle J.E., Introducing the Bortle Dark-Sky Scale, Sky & Telescope, February 2001, pp. 126-129.

Zliczanie gwiazd (CS)

Najprostszą metodą obserwacyjną jest określenie liczby widocznych gwiazd w ściśle określonym obszarze nieboskłonu. Takie metody były stosowane podczas pomiarów na dużych obszarach w Japonii. W tym przypadku zliczano gwiazdy w gromadzie otwartej Plejady w obszarze otoczonym sześcioma jasnymi gwiazdami tej gromady (jest to jeden z częściowo wybieranych obszarów w metodzie zliczeniowej) oraz w obszarze trójkąta w gwiazdozbiore Liry wyznaczonego gwiazdami α Lyr, ϵ Lyr i ζ Lyr⁵². Zliczenia wykonywano okiem uzbrojonym w lornetkę.

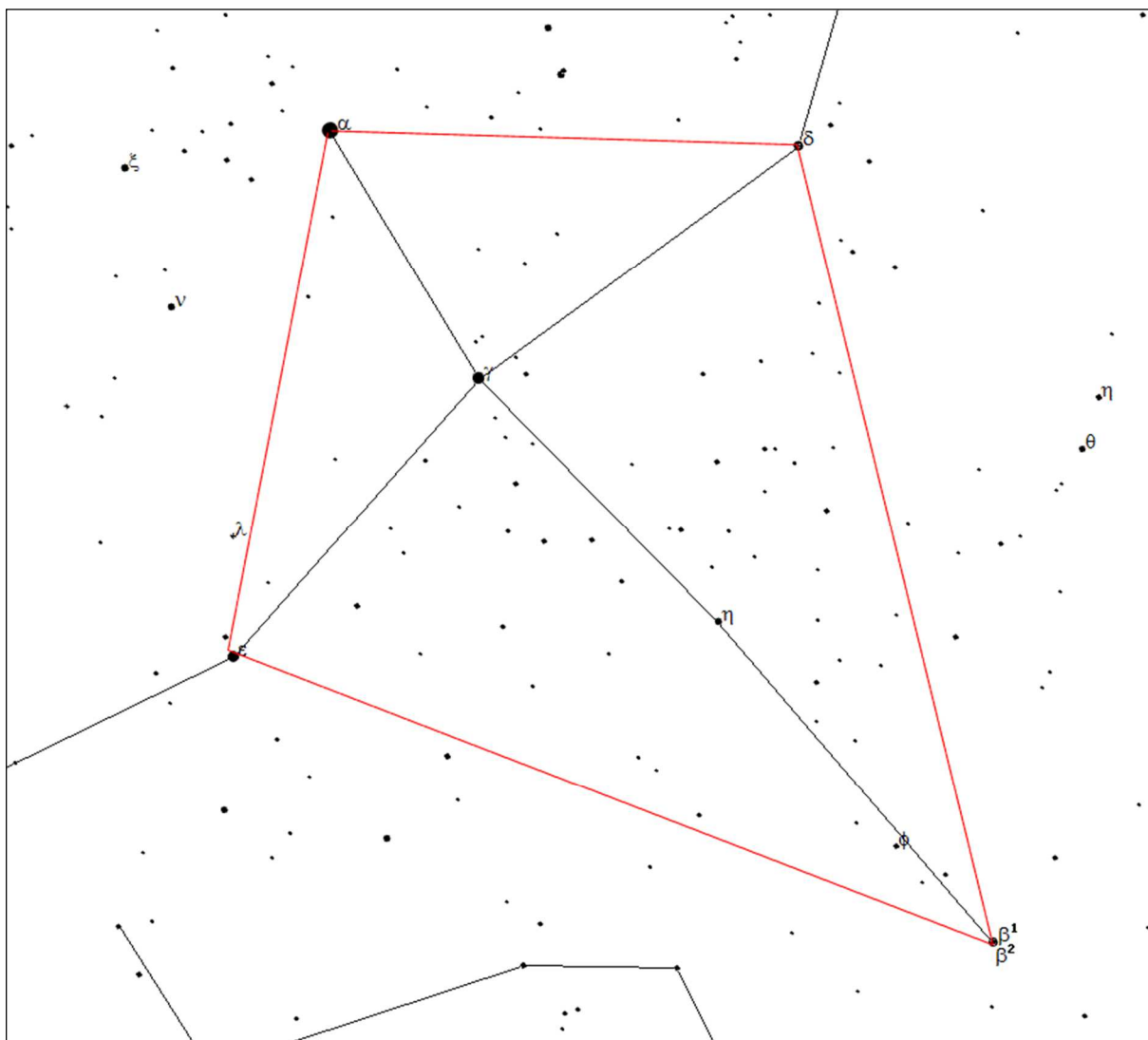
W Sekcji Ochrony Ciemnego Nieba PTMA zliczanie gwiazd wykonuje w wybranych, w zależności od pory roku, obszarach nieba (poniżej mapek podano pole obszaru zliczania⁵³).



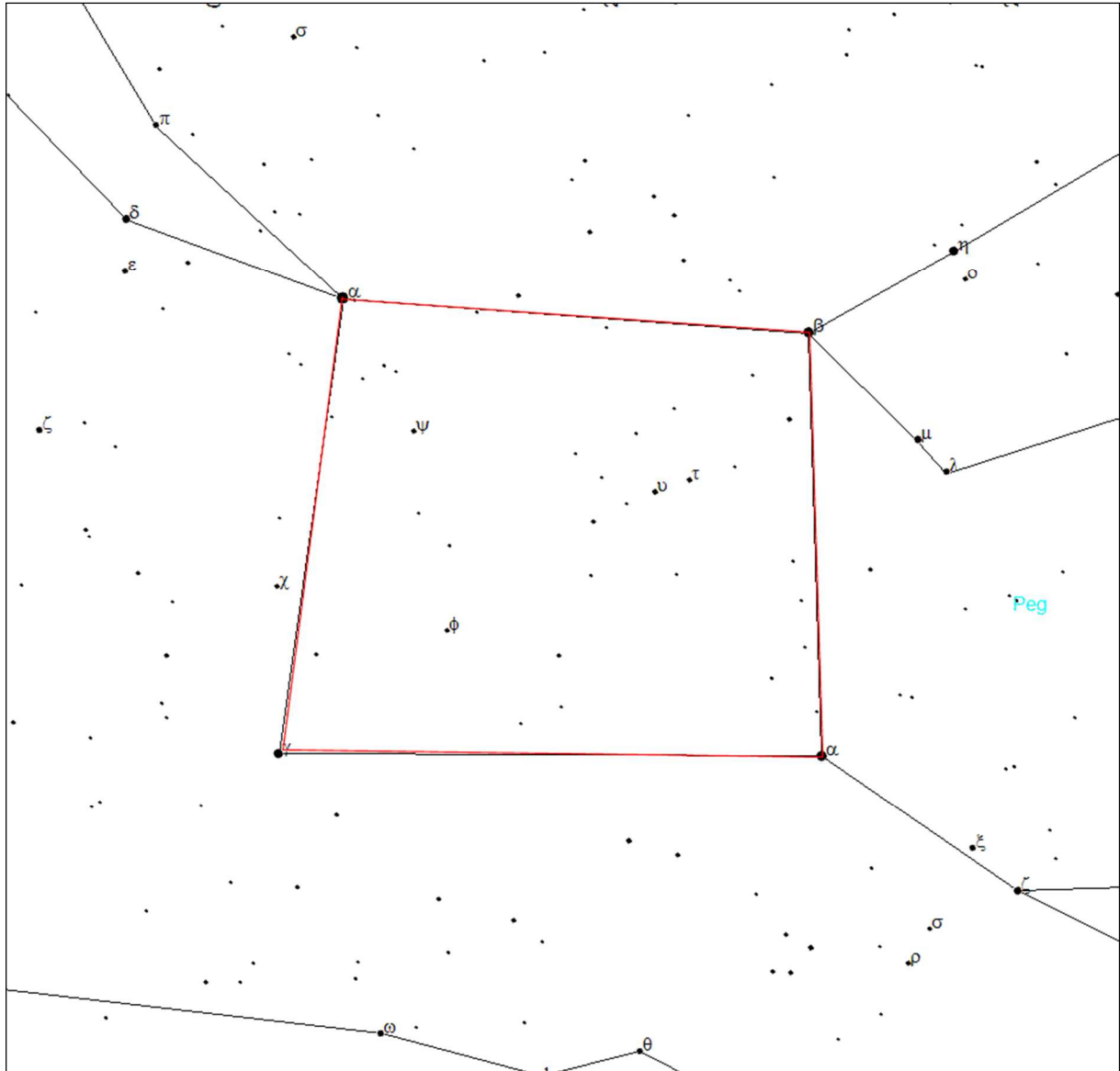
Wiosna: obszar Wolarza (**Boo**): zliczania dokonuje się wewnątrz czworoboku ograniczonego czterema "skrajnymi" gwiazdami (gwiazdy te uwzględniamy w zliczaniu) [pole: $117 \text{ deg}^2 = 36 \text{ msr} = 1/353$ całej sfery niebieskiej]

⁵² Kosai H., Isobe S., Organised Observations of Night-sky Brightness in Japan during 1987-1989, [w:] Fifth Asian-Pacific Regional Astronomy Meeting, eds M.C.B. Ashley, J.L. Caswell, W.J. Couch, R.W. Hunstead, K.M. Proust, Astronomical Society of Australia, Proceedings, vol. 9, no. 1, 1991, pp. 180-183.

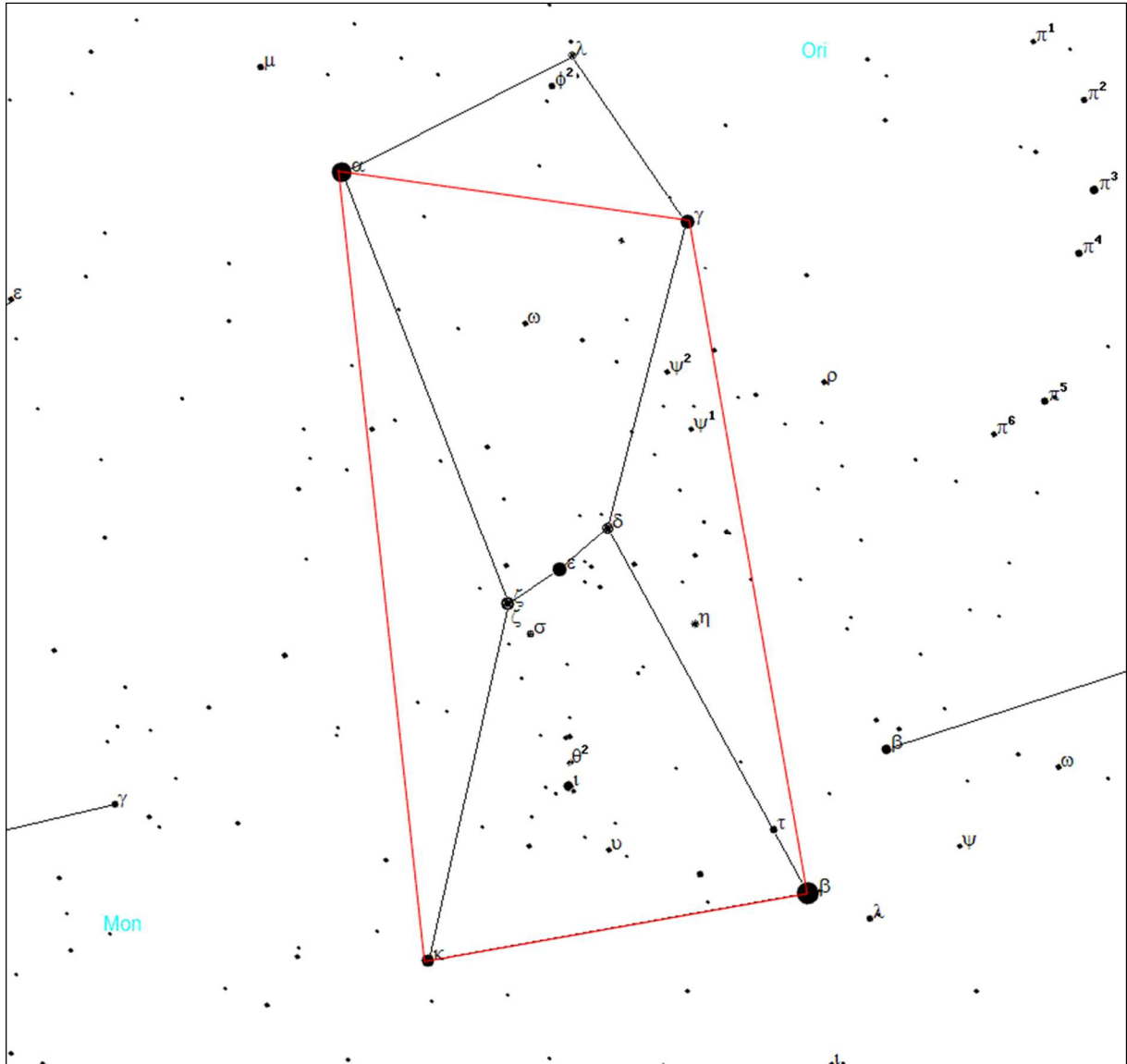
⁵³ pole całej sfery niebieskiej: $41253 \text{ deg}^2 = 12566,37 \text{ msr}$



Lato: obszar Łabędzia (**Cyg**): zliczenia dokonuje się wewnątrz czworoboku ograniczonego czterema "skrajnymi" gwiazdami (gwiazdy te uwzględniamy w zliczaniu) [pole: $178 \text{ deg}^2 = 54 \text{ msr} = 1/231$ całej sfery niebieskiej]



Jesień: obszar Pegaza (**Peg**): zliczenia dokonuje się wewnątrz czworoboku ograniczonego czterema "skrajnymi" gwiazdami (gwiazdy te uwzględniamy w zliczaniu) [pole: $204 \text{ deg}^2 = 62 \text{ msr} = 1/202$ całej sfery niebieskiej]



Zima: obszar Oriona (**Ori**): zliczenia dokonuje się wewnątrz czworoboku ograniczonego czterema "skrajnymi" gwiazdami (gwiazdy te uwzględniamy w zliczaniu) [pole: $124 \text{ deg}^2 = 38 \text{ msr} = 1/334$ całej sfery niebieskiej]

Ocena jasności najśłabszej gwiazdy widocznej gołym okiem (NELM)

Nieco trudniejszą, lecz najczęściej stosowaną metodą obserwacyjną jest wyznaczanie tak zwanej wielkości granicznej (ang. limiting magnitude) obserwowanych gwiazd. Polega ona na poszukiwaniu metodą zerkania najśłabszej gwiazdy, widocznej na danym obszarze nieboskłonu. Jak w poprzedniej metodzie, obszar obserwowany musi być bogaty w gwiazdy różnej wielkości, tak aby wyznaczenie wielkości granicznej było jak najbardziej precyzyjne.

Wspomniana metoda zerkania polega na obserwacji "kątem oka", czyli brzegiem siatkówki, bogatszej w dużo czulsze od czopków pręciki, odpowiadające za widzenie nocne. Ze względu na powolną reakcję pręcików na światło, metoda ta wymaga wstępnej, przynajmniej dwudziestominutowej adaptacji oka do ciemności i zaleca się, aby w pobliżu nie znajdowały się żadne silne źródła światła, nawet przysłonięte, gdyż w takim przypadku oko rejestruje światło rozproszone wokół takich źródeł.

Bliskie źródła światła mają też bezpośredni wpływ na wartość pomiaru, gdyż wskutek rozpraszania rozjaśniają lokalnie tło nieba, wprowadzając tym samym błąd systematyczny do pomiaru. Efekt jest tym silniejszy, im bardziej zanieczyszczona lub zamglona jest atmosfera, gdyż warunki, w których zachodzi wzmożone rozpraszanie światła powodują pozorne rozjaśnienie źródeł bliskich wraz z przytłumieniem odległych.

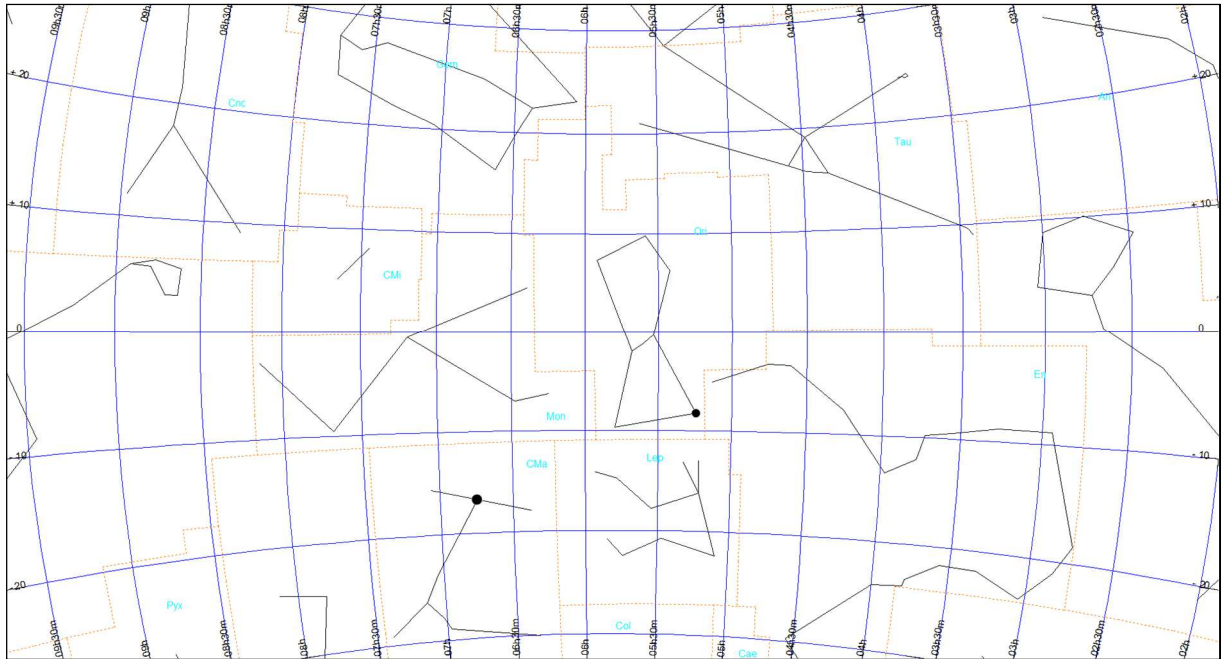
Kolejnym niekorzystnym zjawiskiem, wpływającym na pomiar wizualny są turbulencje w niższych warstwach atmosfery. Objawia się to migotaniem gwiazd. Efekt ten jest najsilniejszy wieczorem, kiedy następuje stygnięcie atmosfery, a w miarę upływu nocy słabnie, kiedy ustala się już równowaga stała atmosfery. Gwiazdy wydają się wtedy wyraźniejsze i jaśniejsze. Turbulencje powodują więc ograniczenie zasięgu widzialności słabych gwiazd, nie zmieniając jednakże jasności powierzchniowej nieba. Tym samym powodują błąd systematyczny pomiaru⁵⁴.

W Sekcji Ochrony Ciemnego Nieba PTMA ocenę widzialności gwiazd wykonuje się poprzez porównanie obserwowanego nieba z mapami, wybranymi w zależności od pory roku. Numery map odpowiadają jasności najśłabszych gwiazd widocznych gołym okiem w danym obszarze.

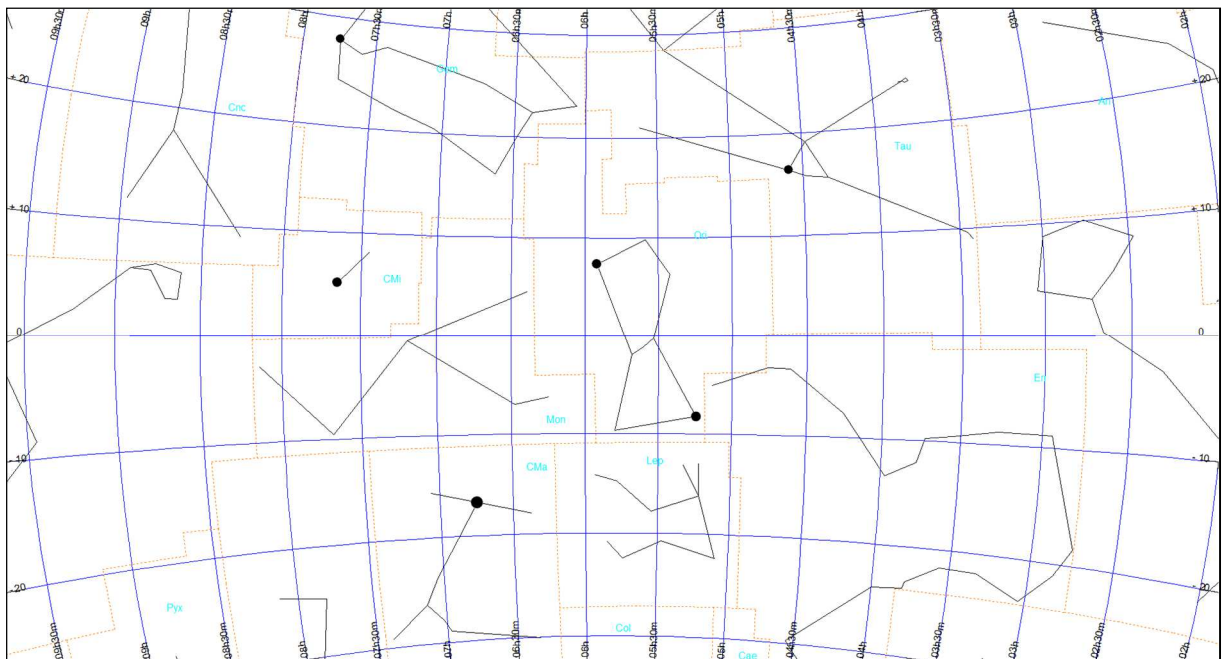
⁵⁴ Moore C.A., Visual Estimations of Night Sky Brightness, The George Wright Forum, vol. 18, no. 4, 2001, pp. 46-55.

Orion (obszar Ori)

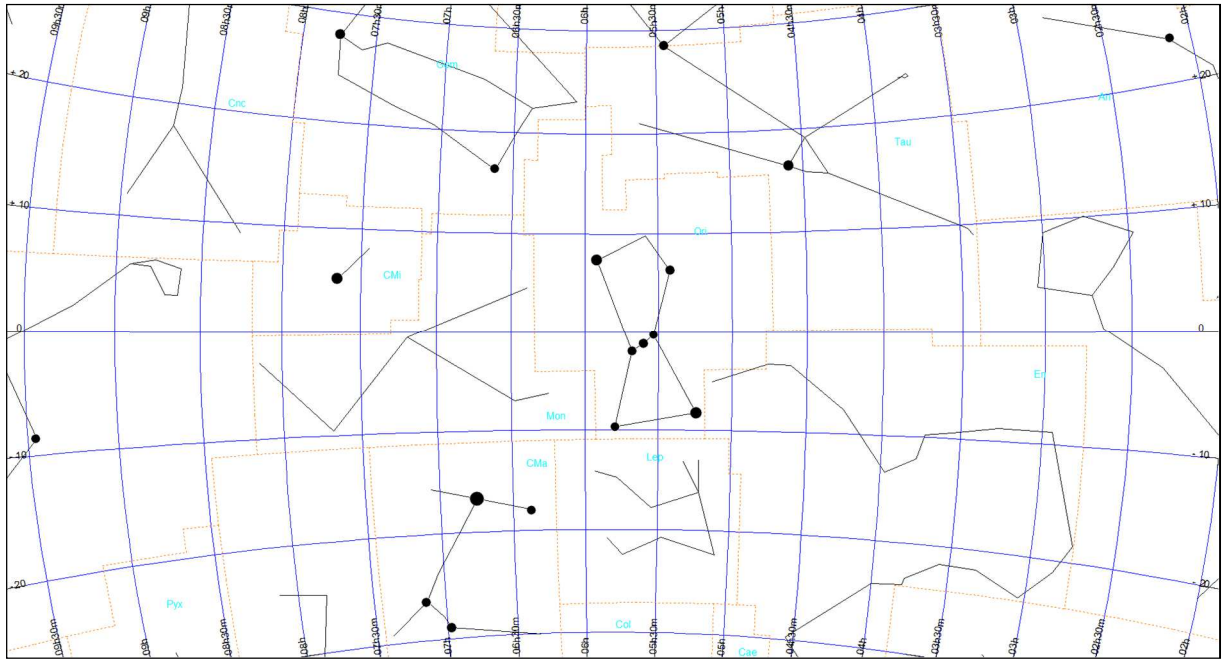
Mapa Ori-0



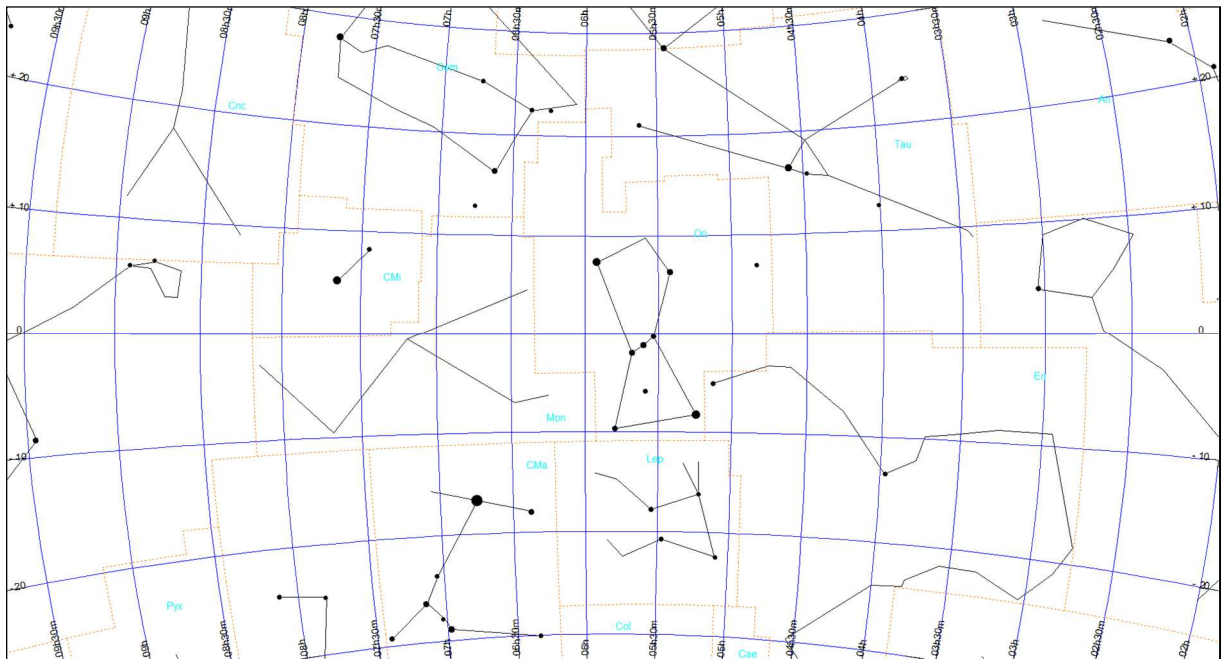
Mapa Ori-1



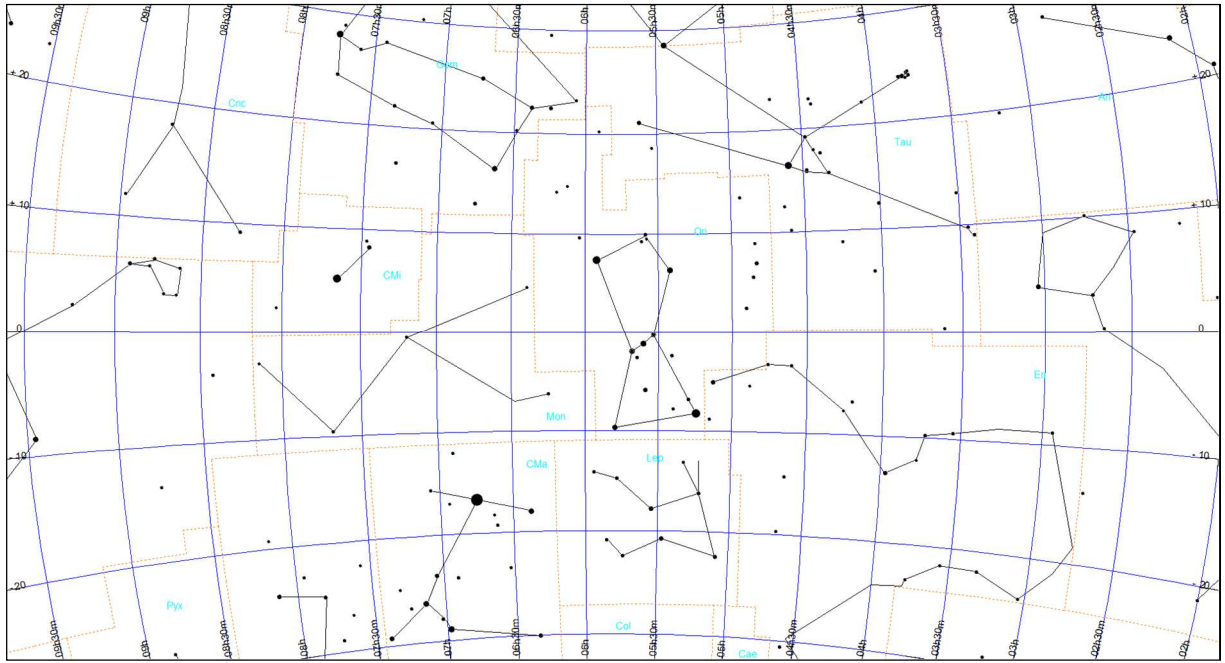
Mapa Ori-2



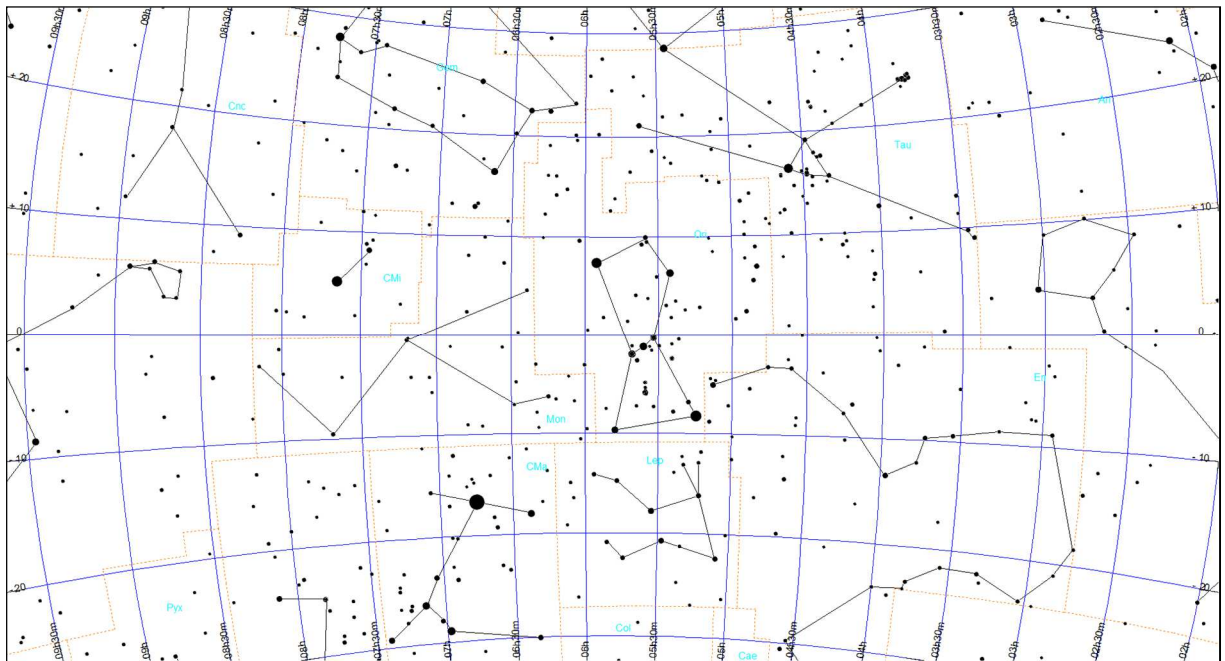
Mapa Ori-3



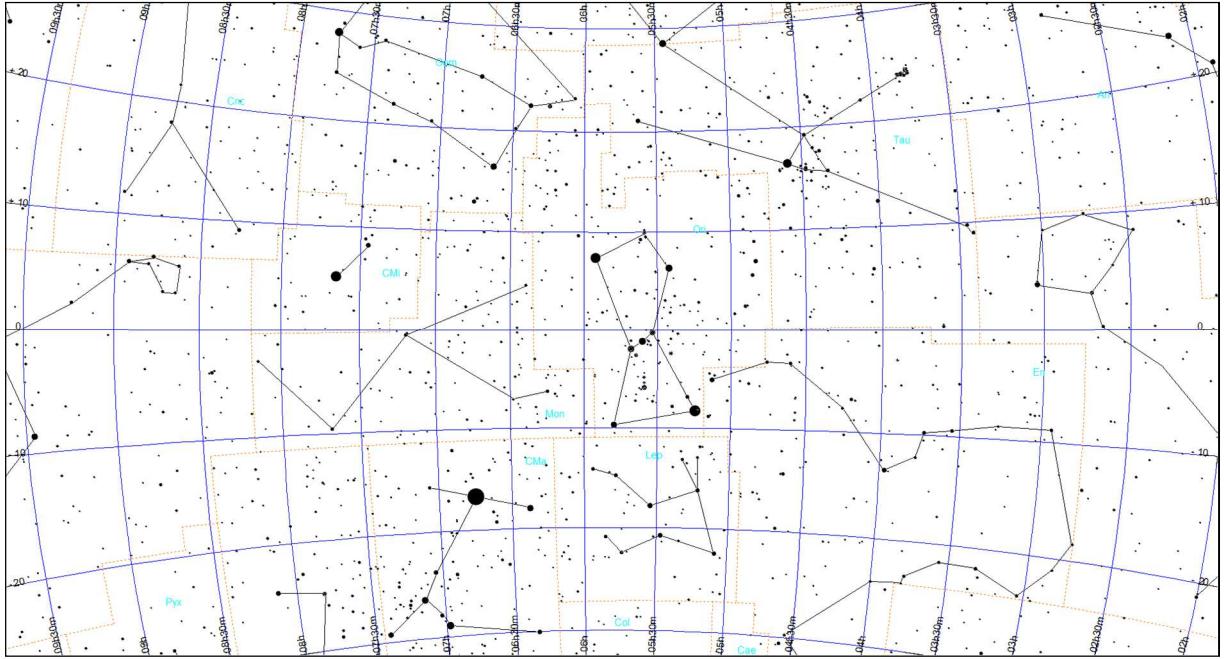
Mapa Ori-4



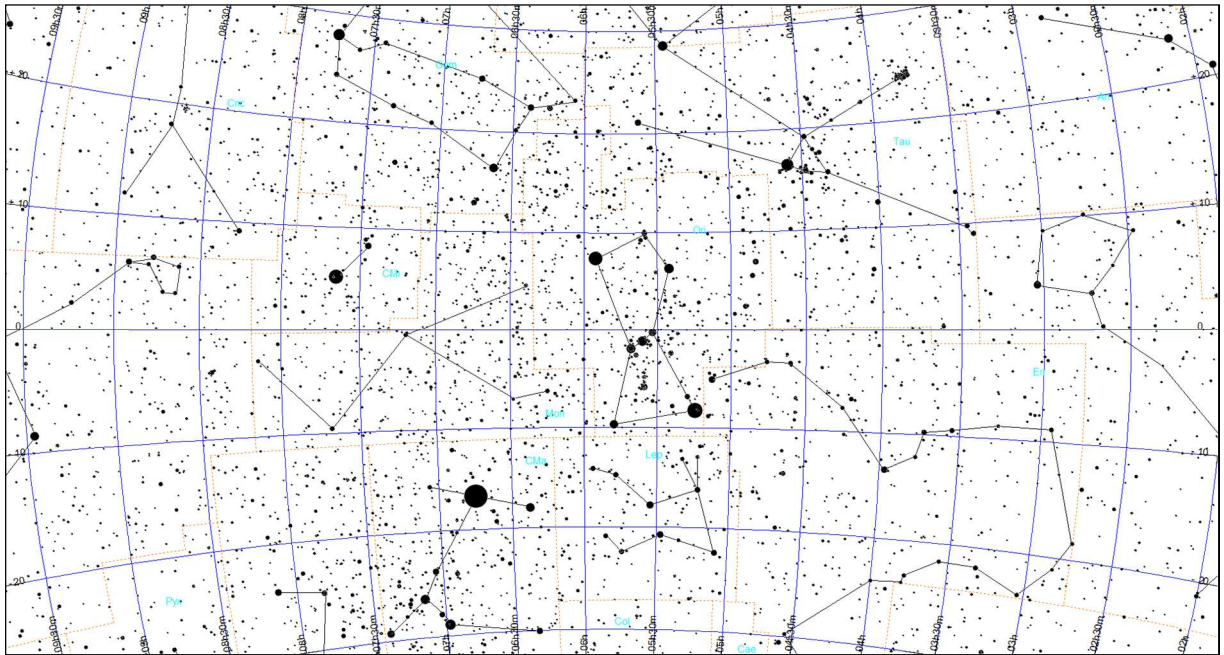
Mapa Ori-5



Mapa Ori-6

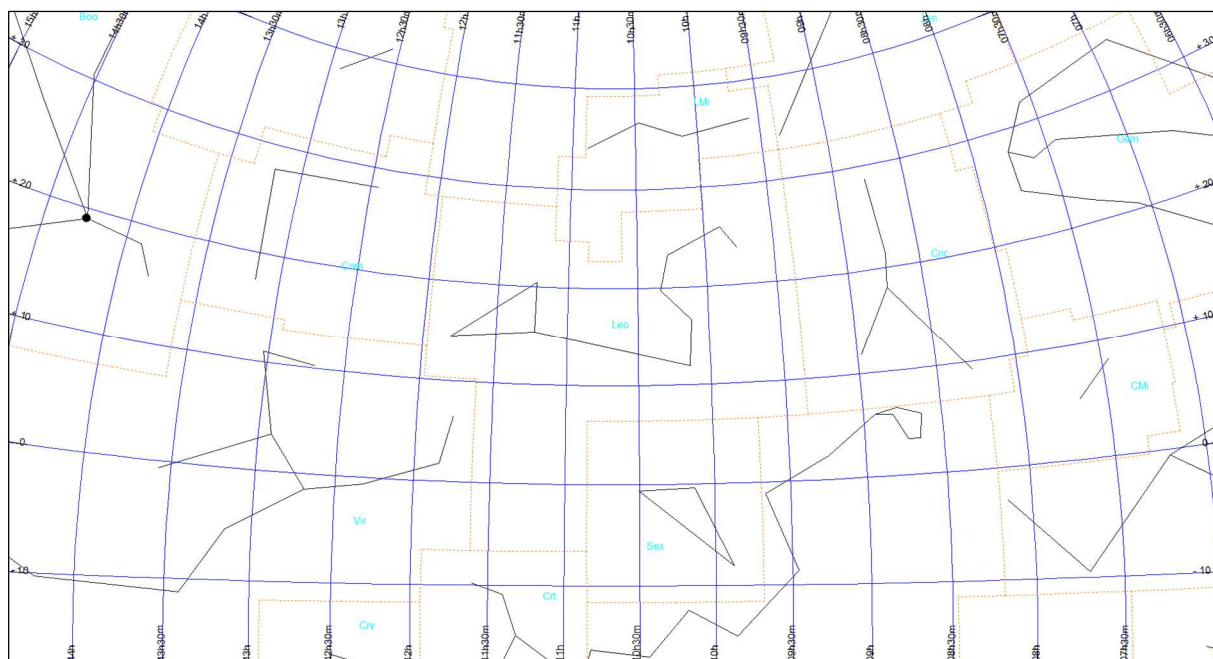


Mapa Ori-7

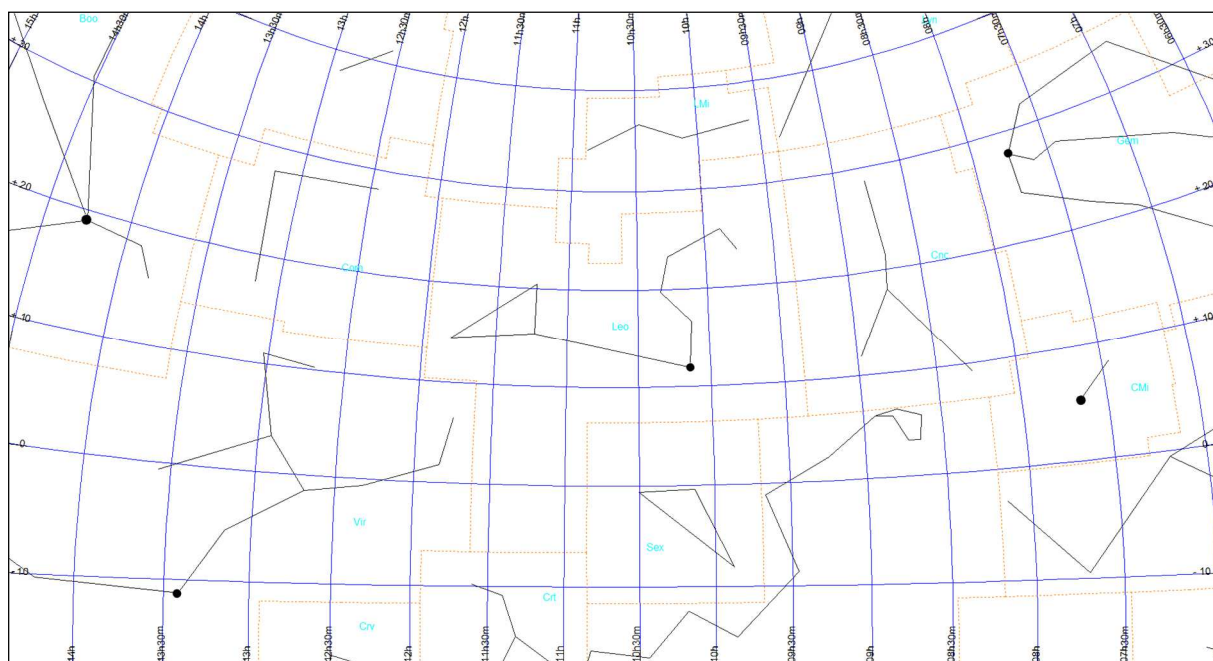


Lew (obszar Leo)

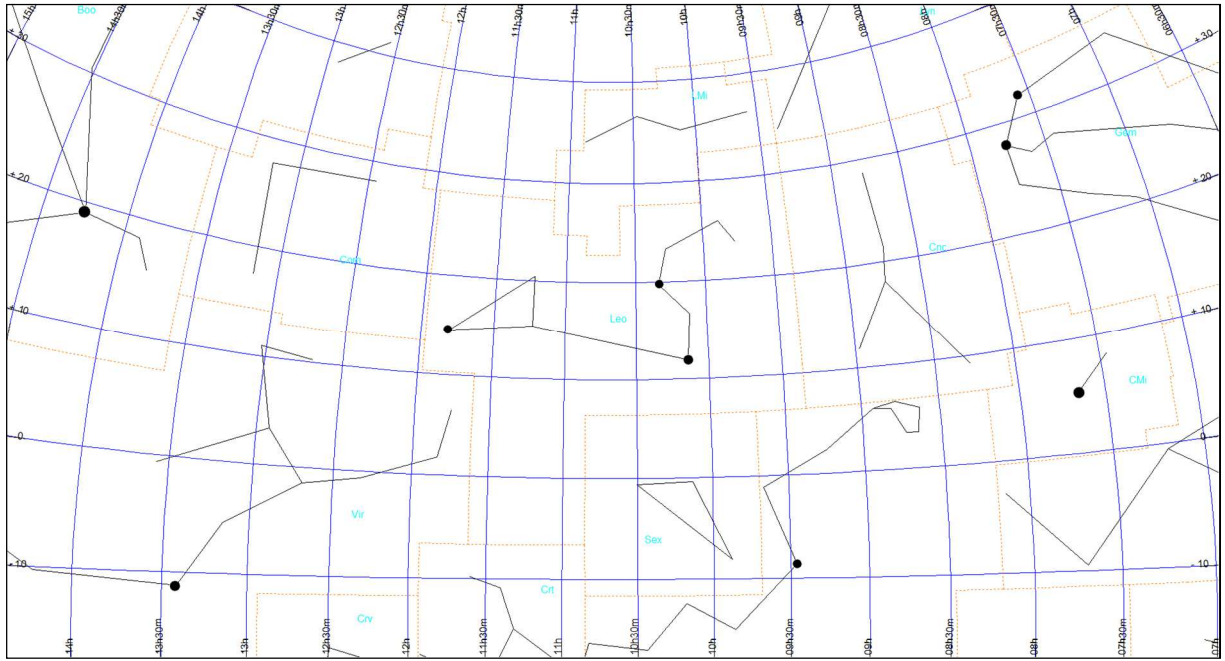
Mapa Leo-0



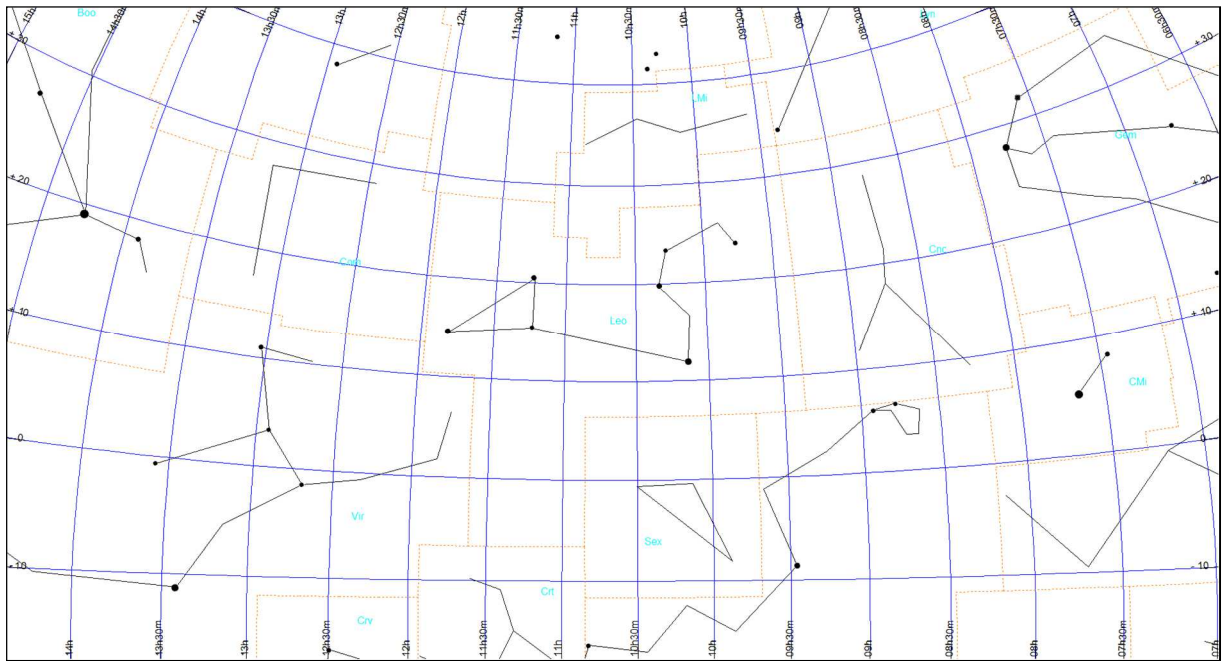
Mapa Leo-1



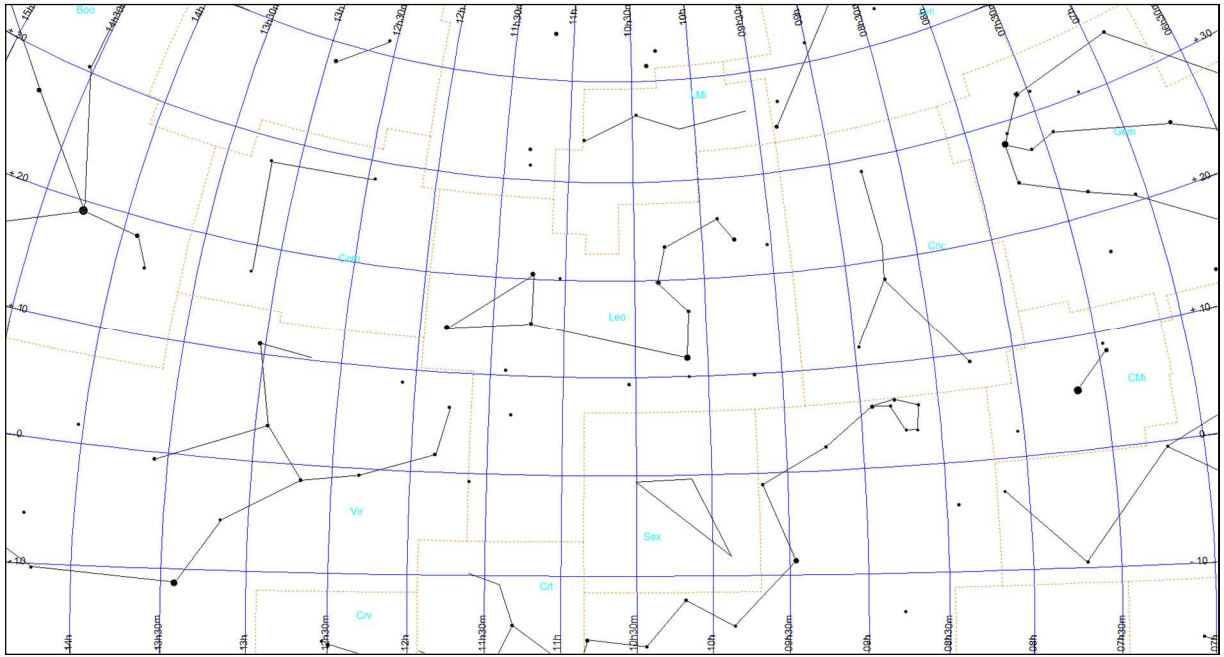
Mapa Leo-2



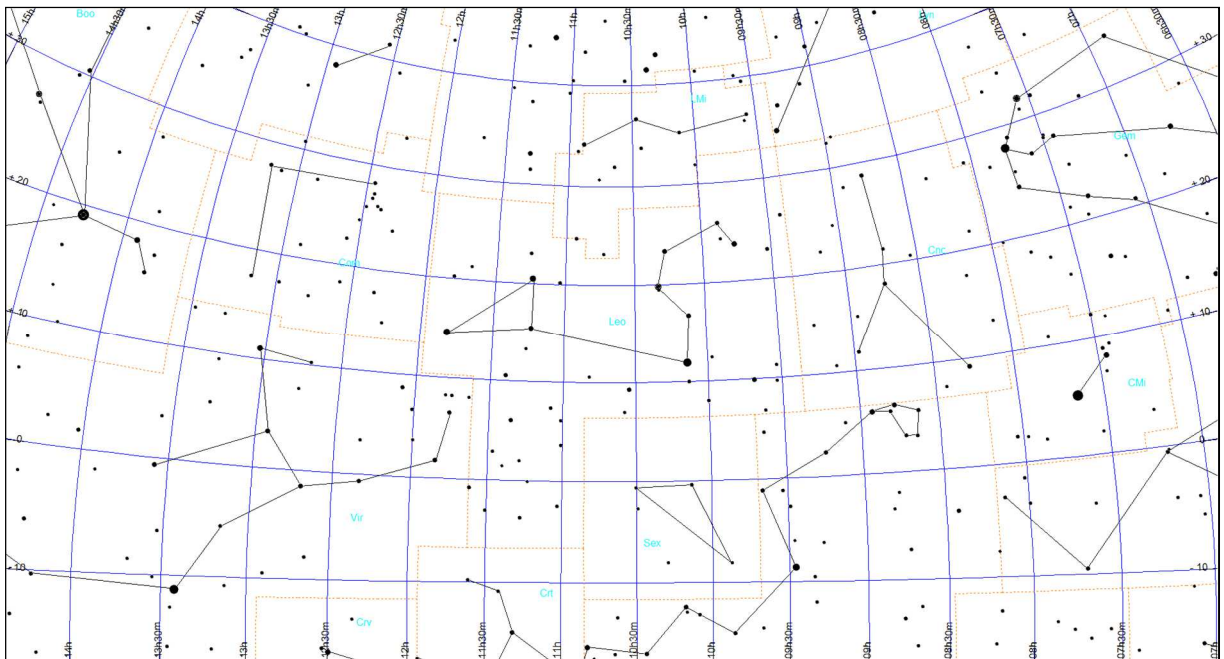
Mapa Leo-3



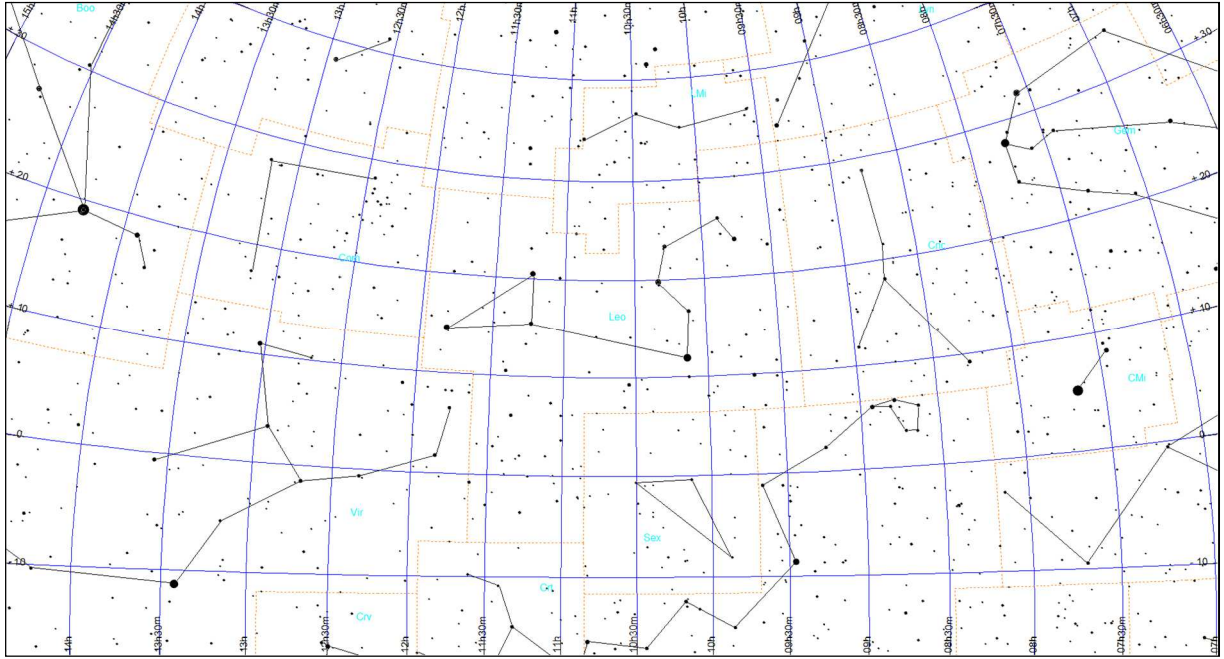
Mapa Leo-4



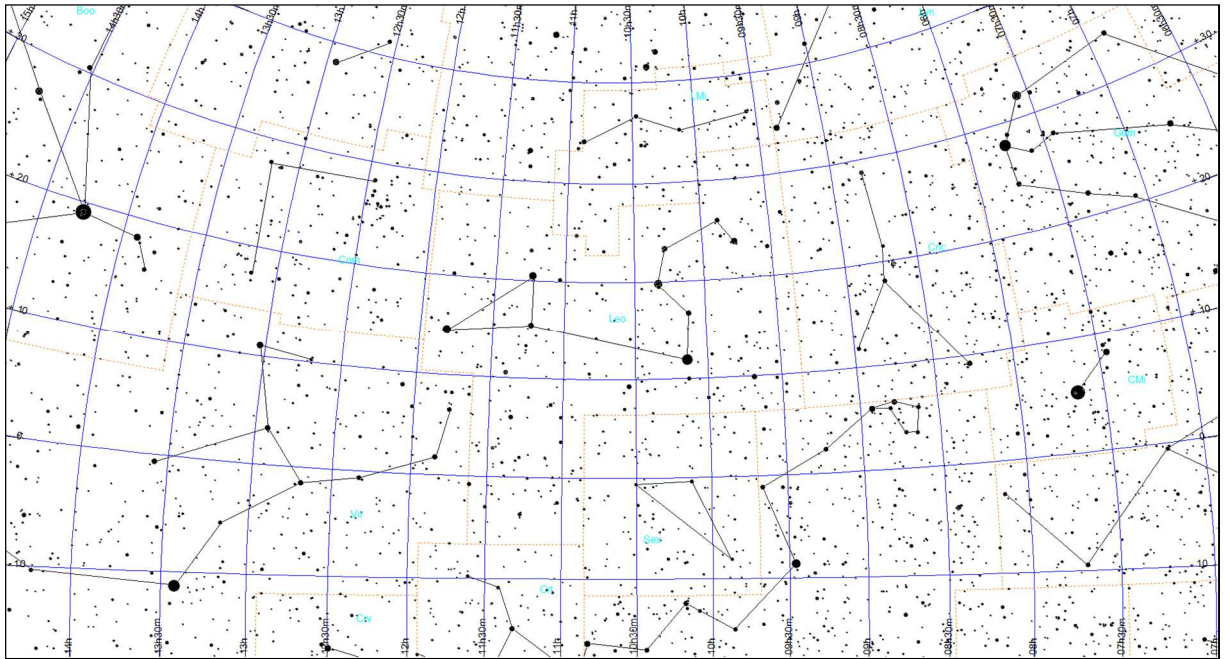
Mapa Leo-5



Mapa Leo-6

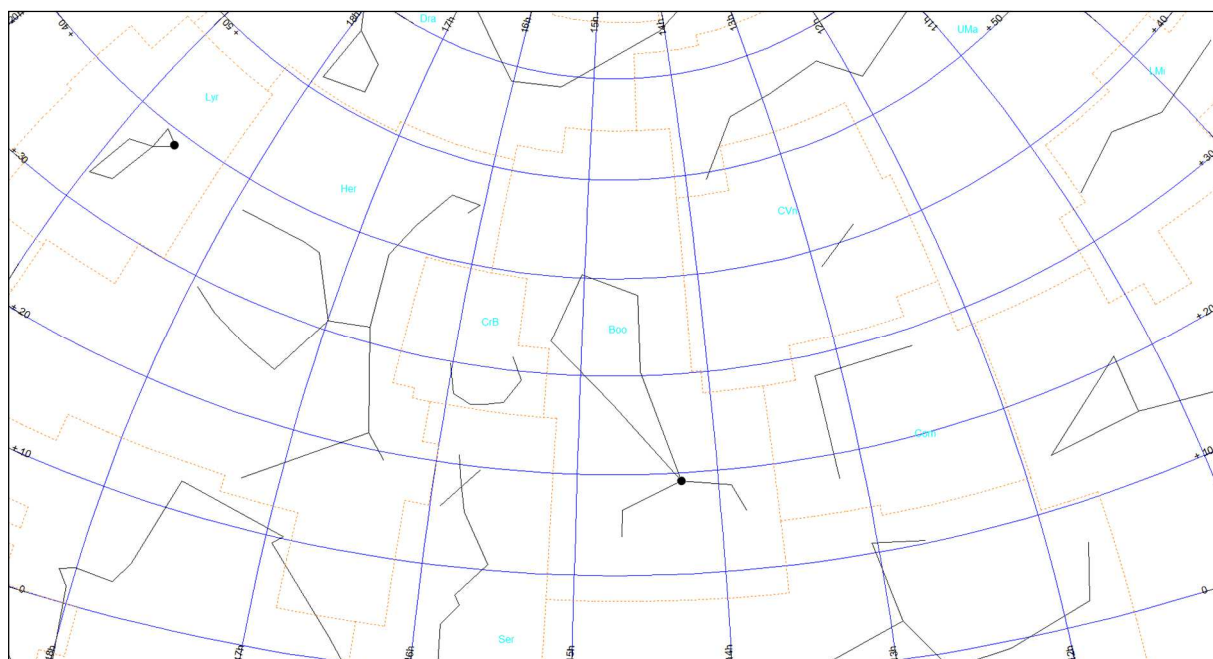


Mapa Leo-7

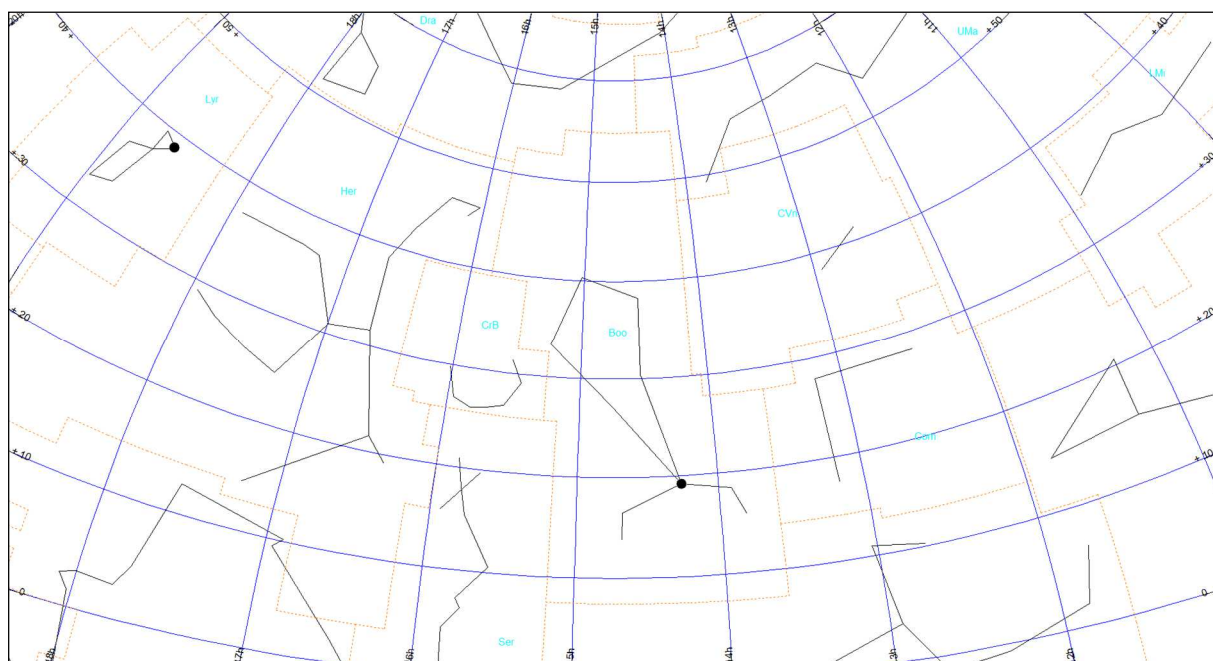


Wolarz (obszar Boo)

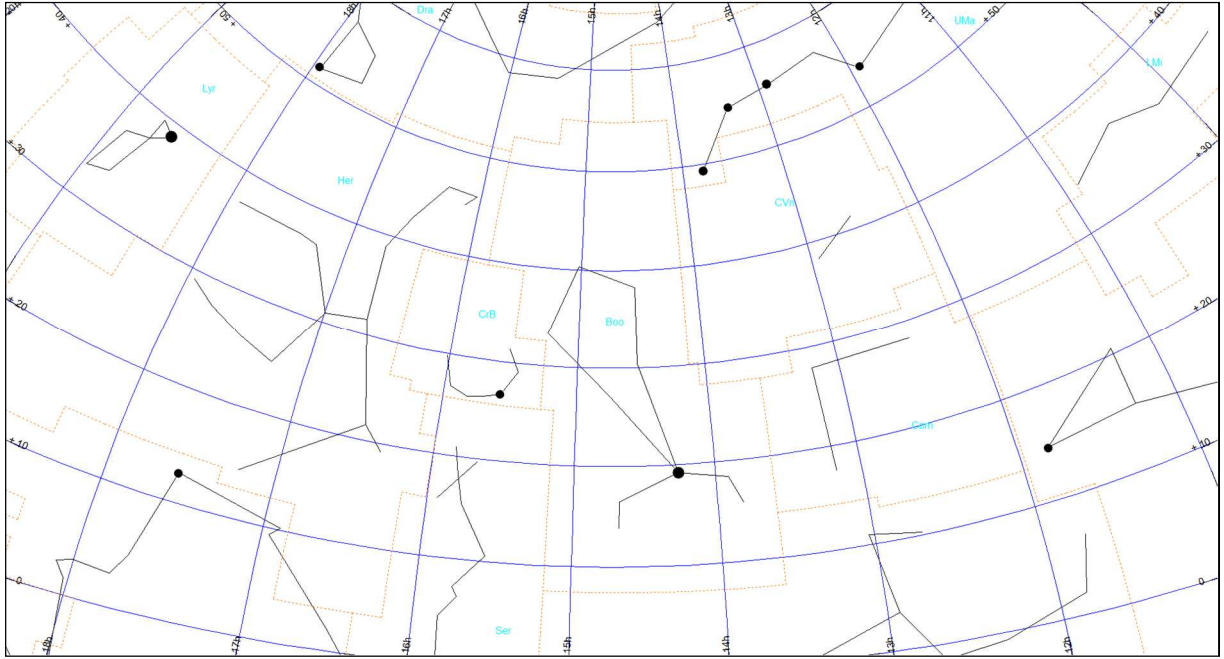
Mapa Boo-0



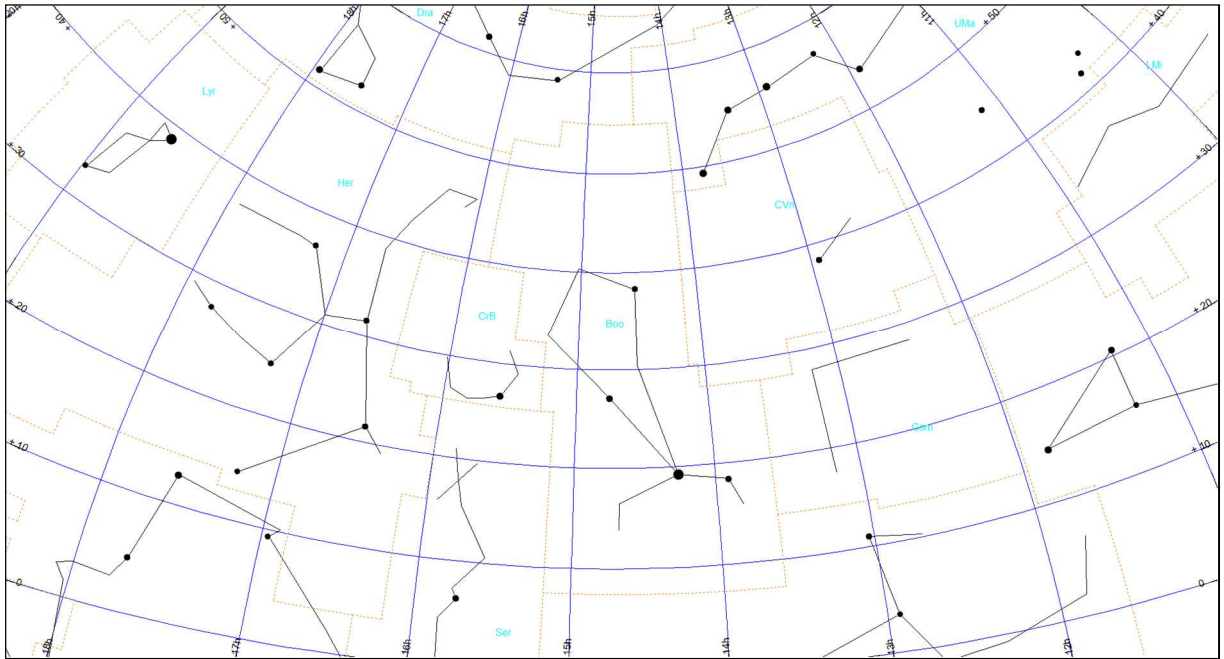
Mapa Boo-1



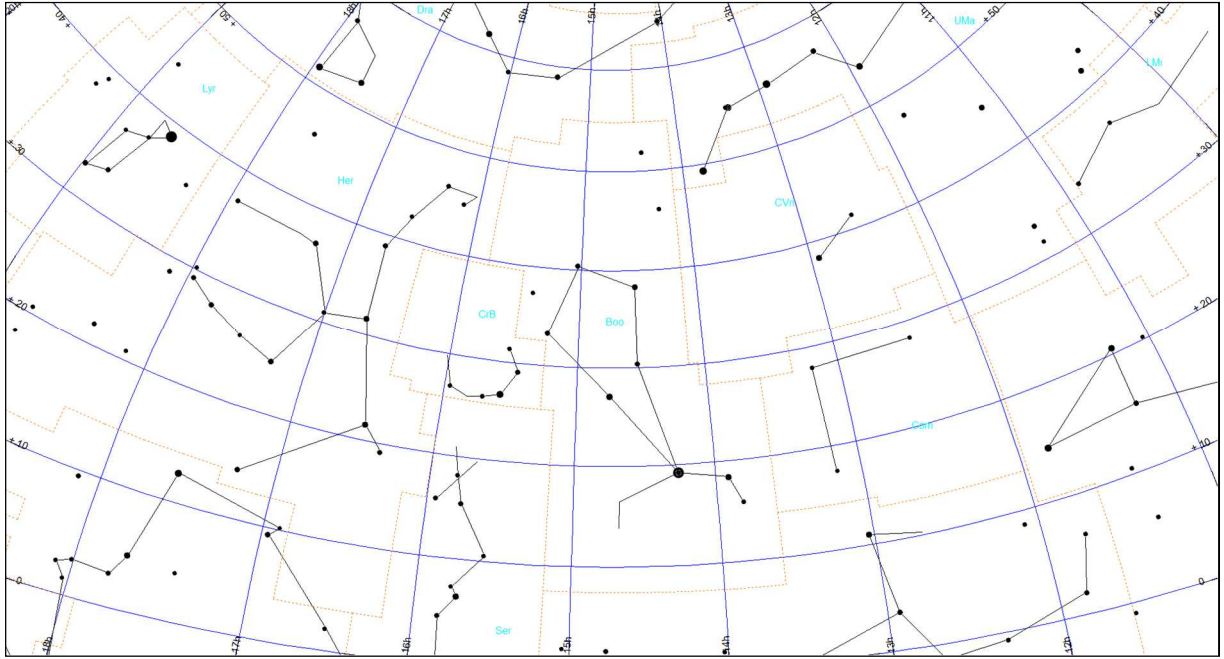
Mapa Boo-2



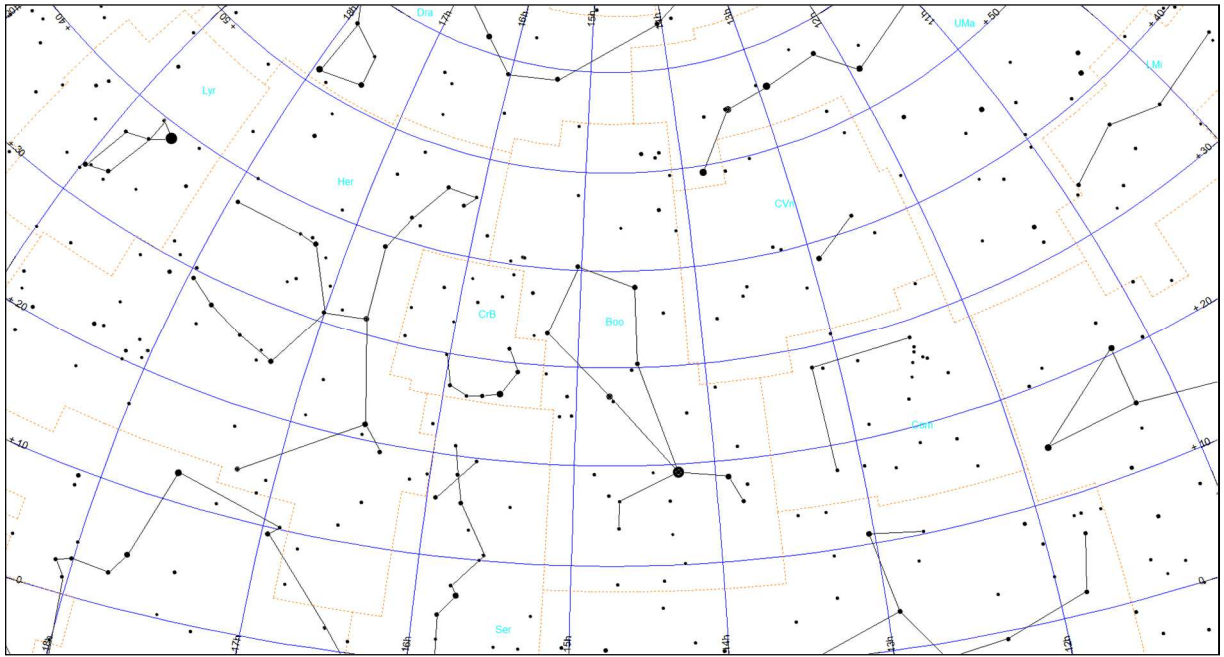
Mapa Boo-3



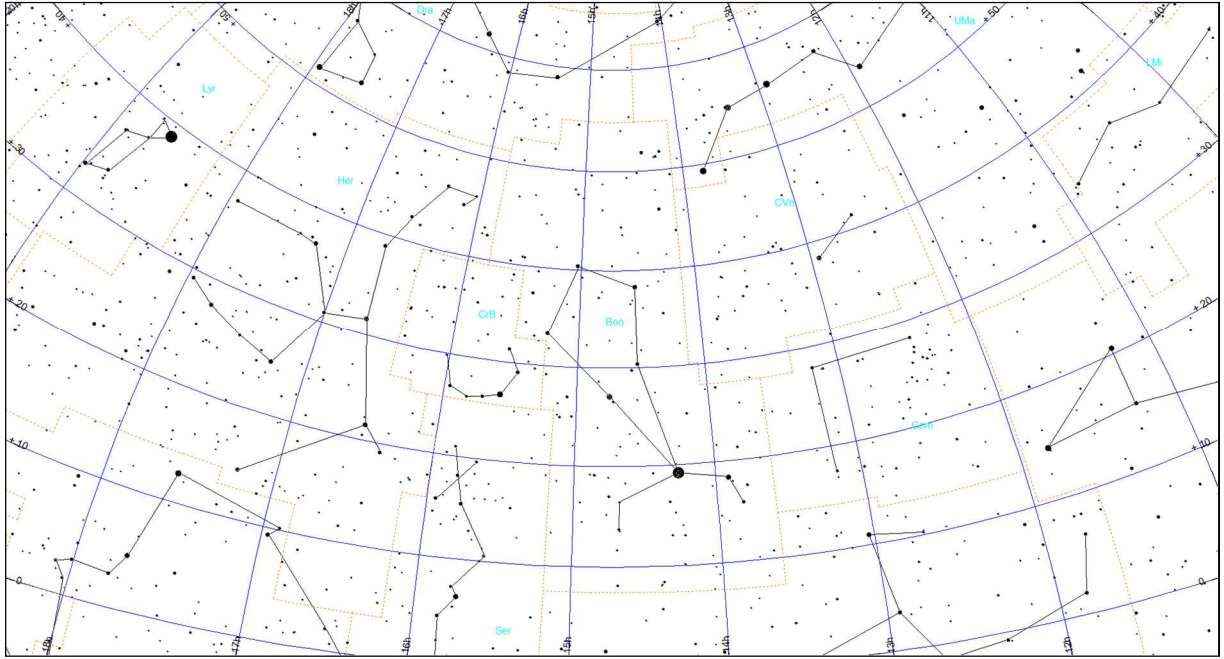
Mapa Boo-4



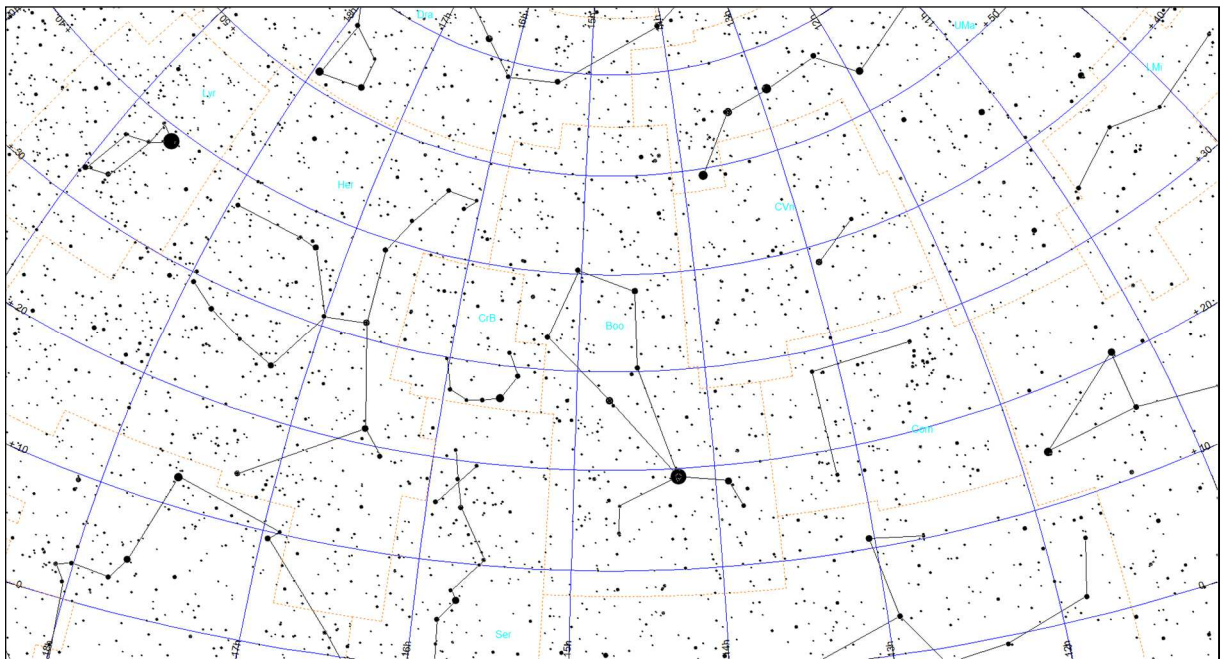
Mapa Boo-5



Mapa Boo-6

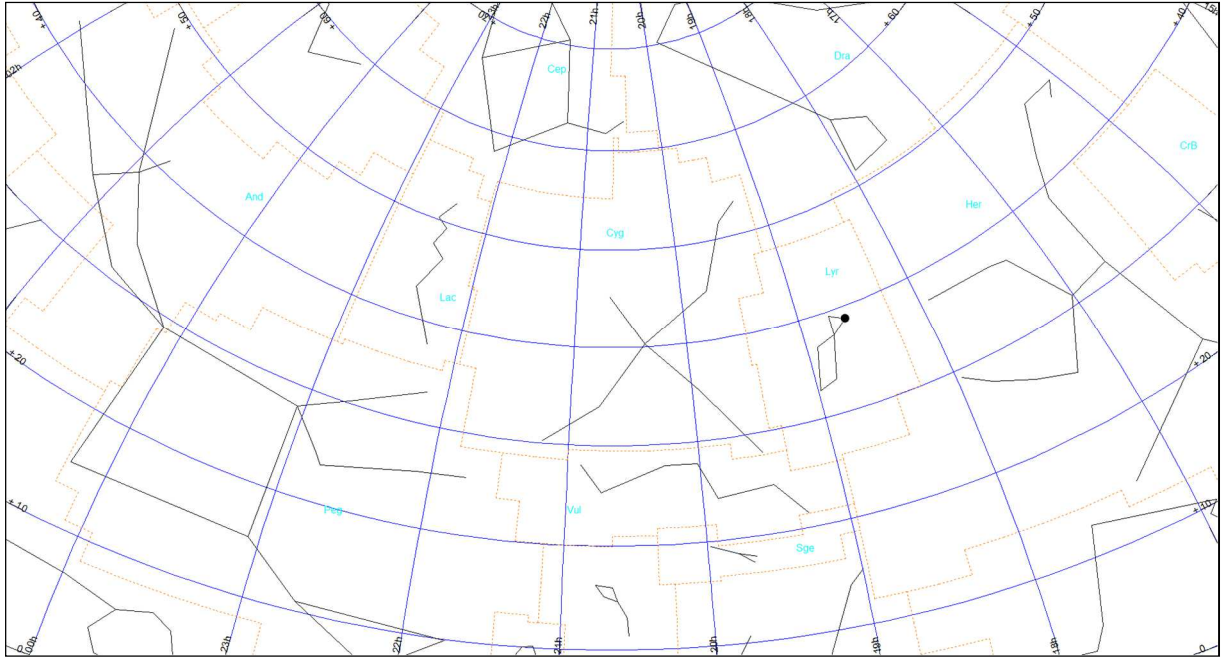


Mapa Boo-7

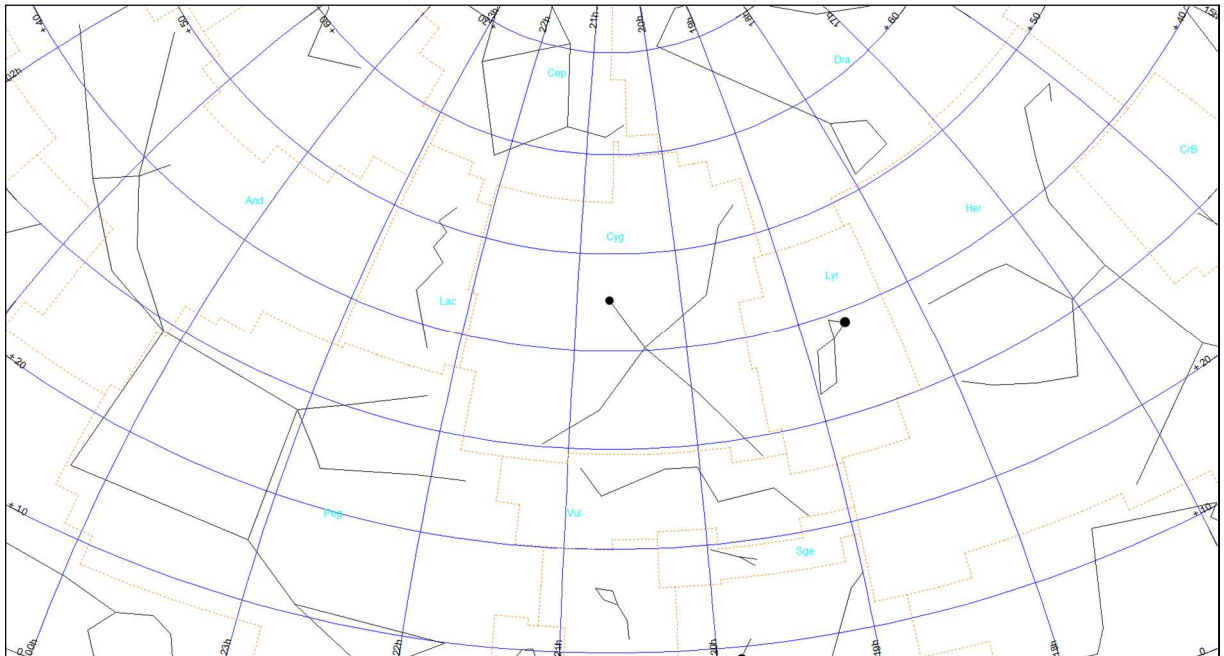


Łabędź (obszar Cyg)

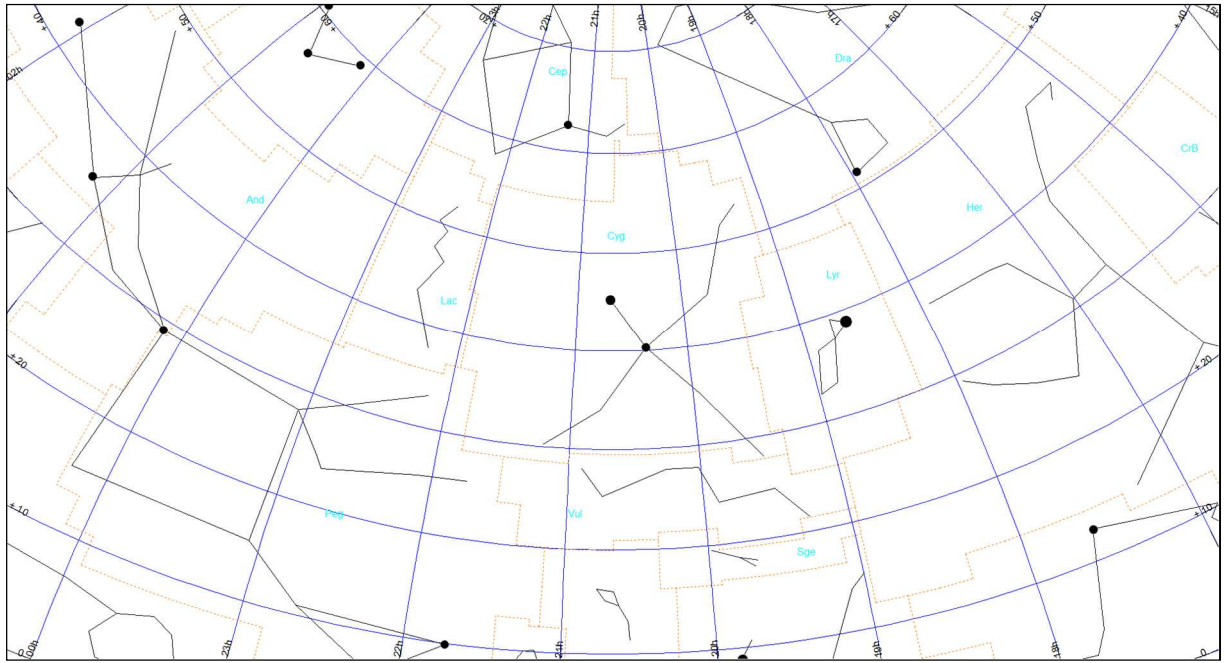
Mapa Cyg-0



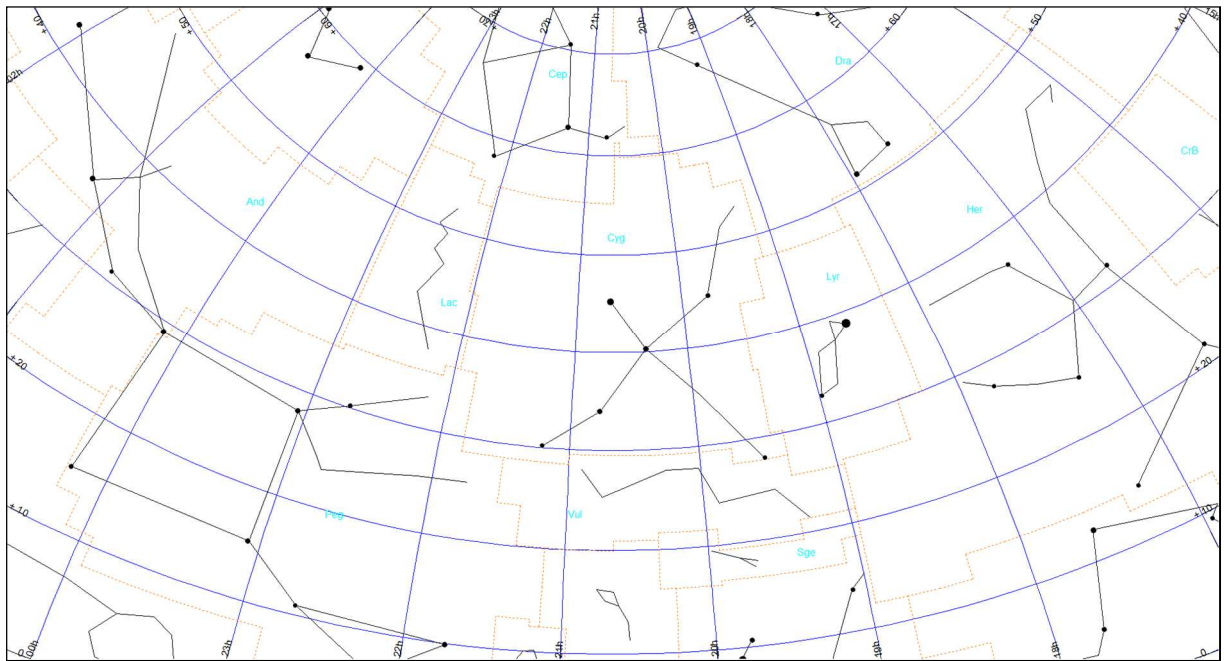
Mapa Cyg-1



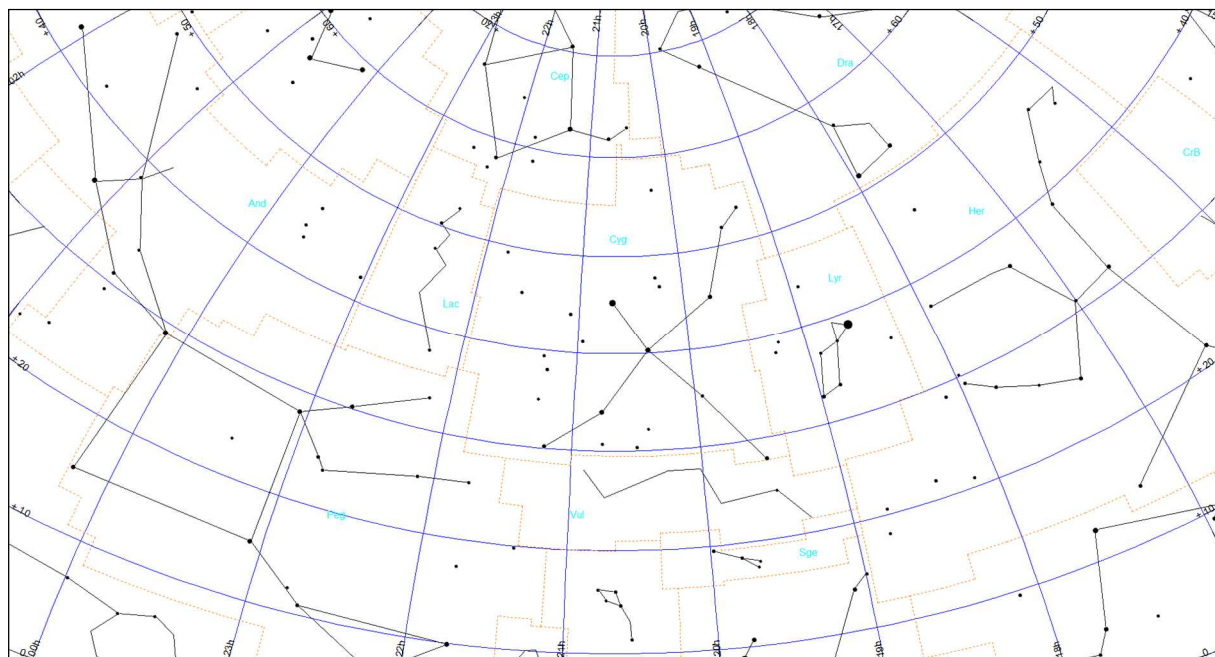
Mapa Cyg-2



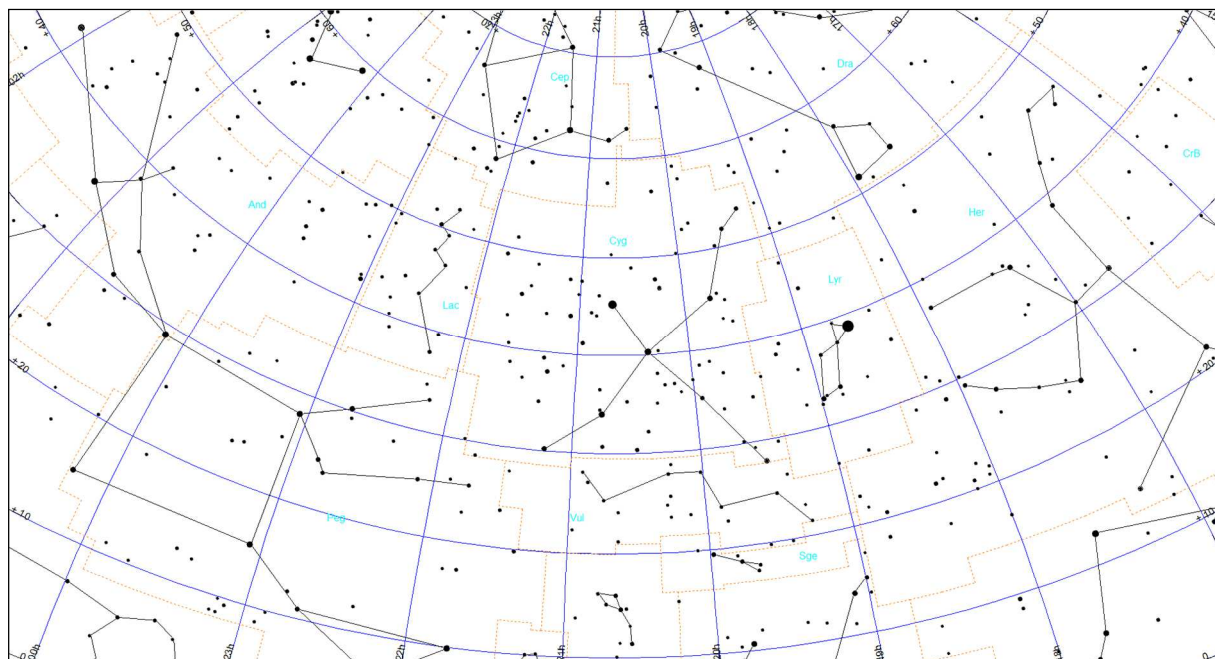
Mapa Cyg-3



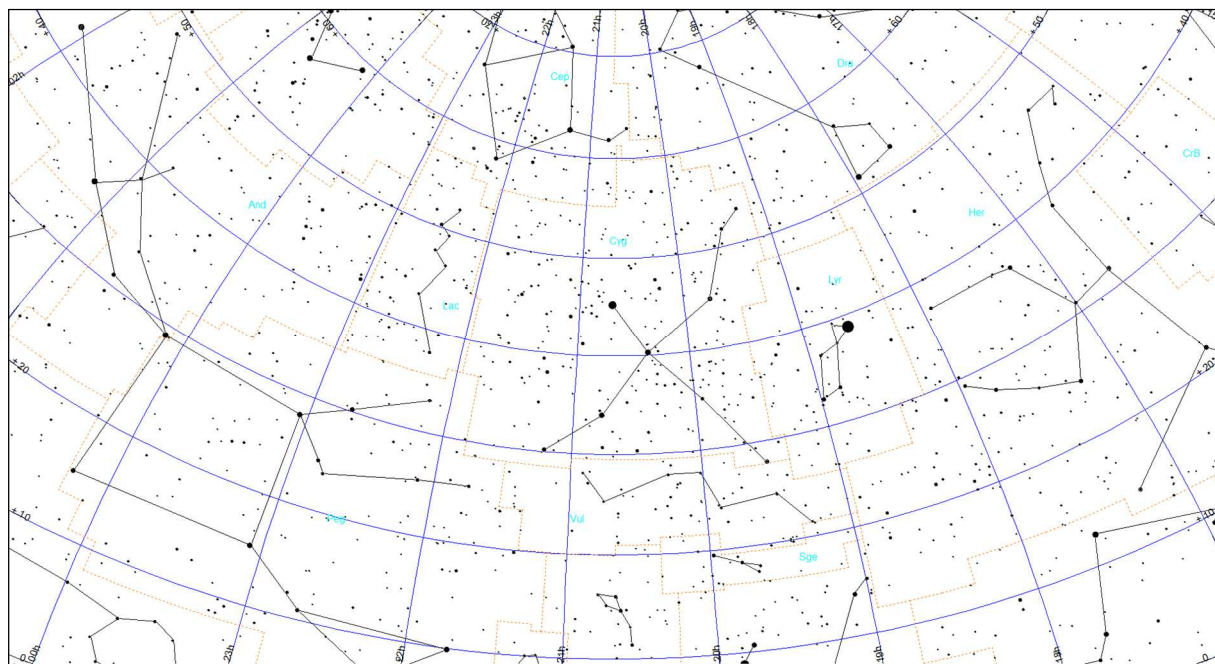
Mapa Cyg-4



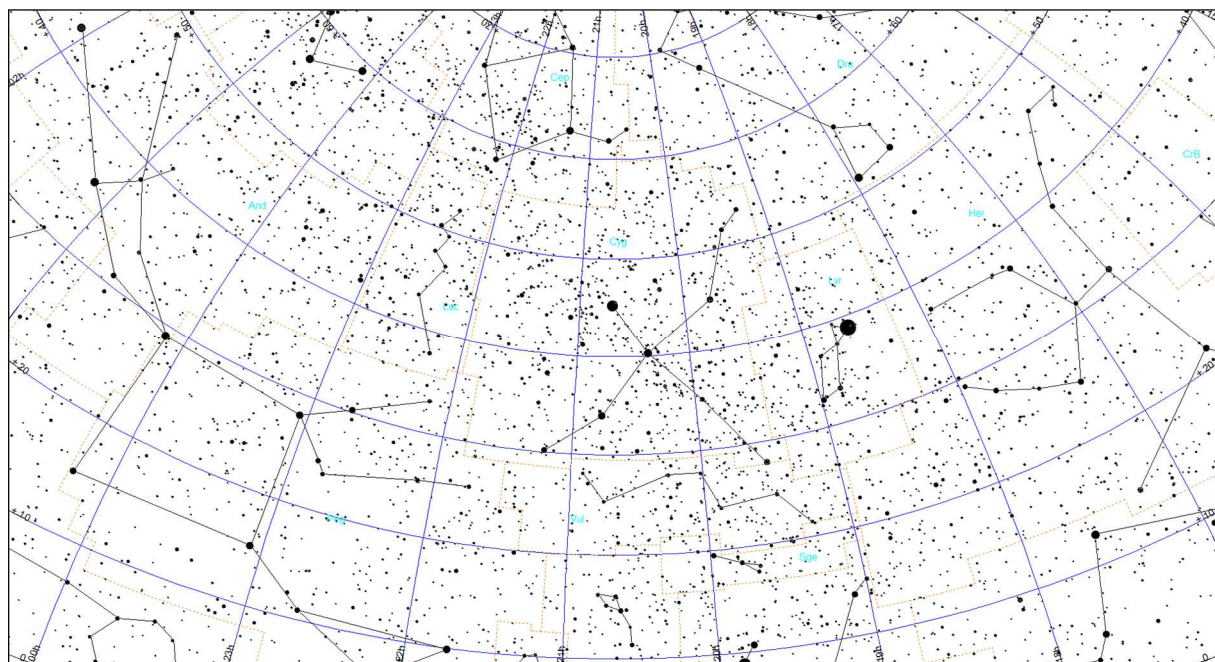
Mapa Cyg-5



Mapa Cyg-6

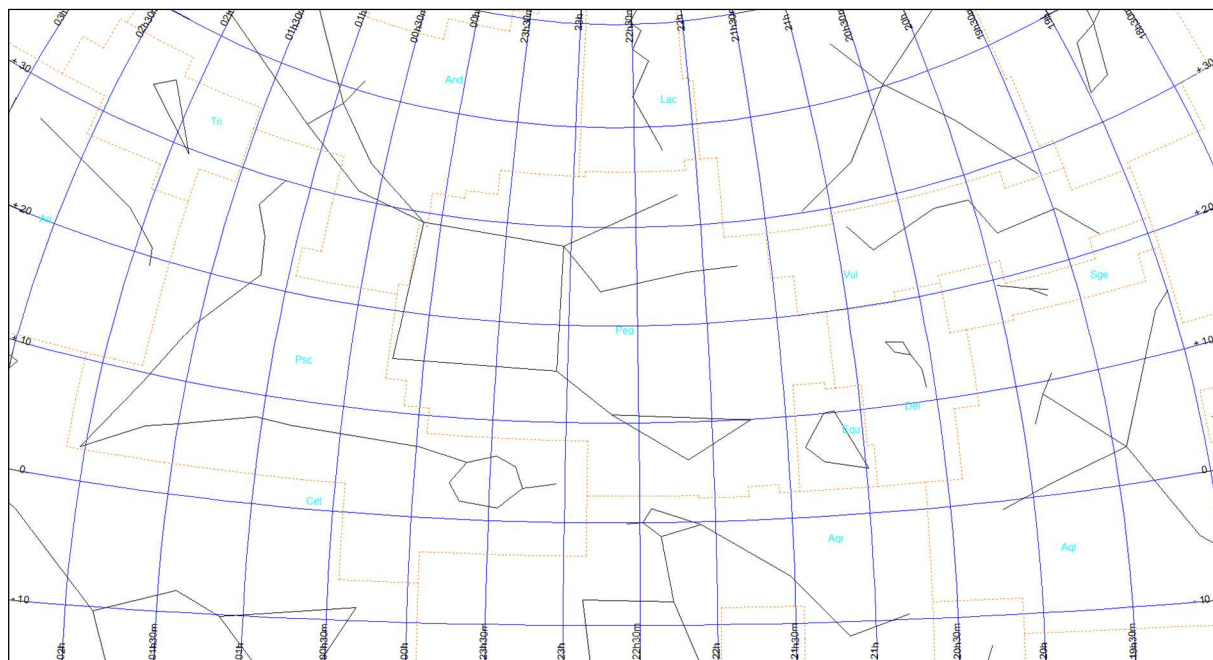


Mapa Cyg-7

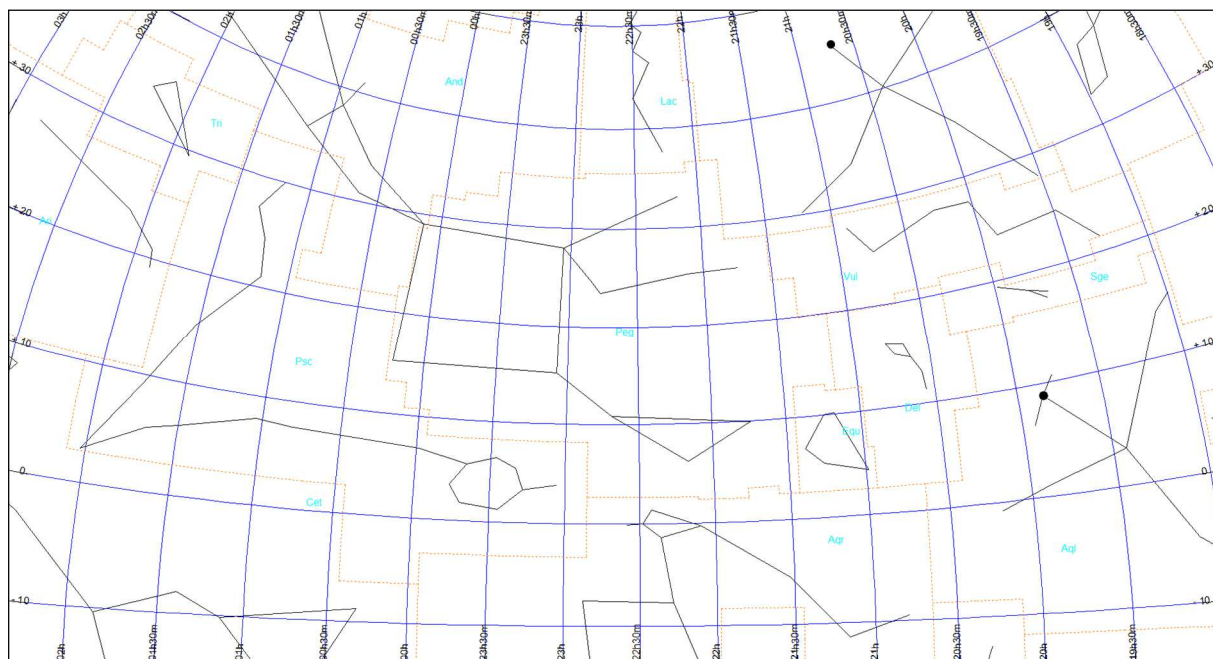


Pegaz (obszar Peg)

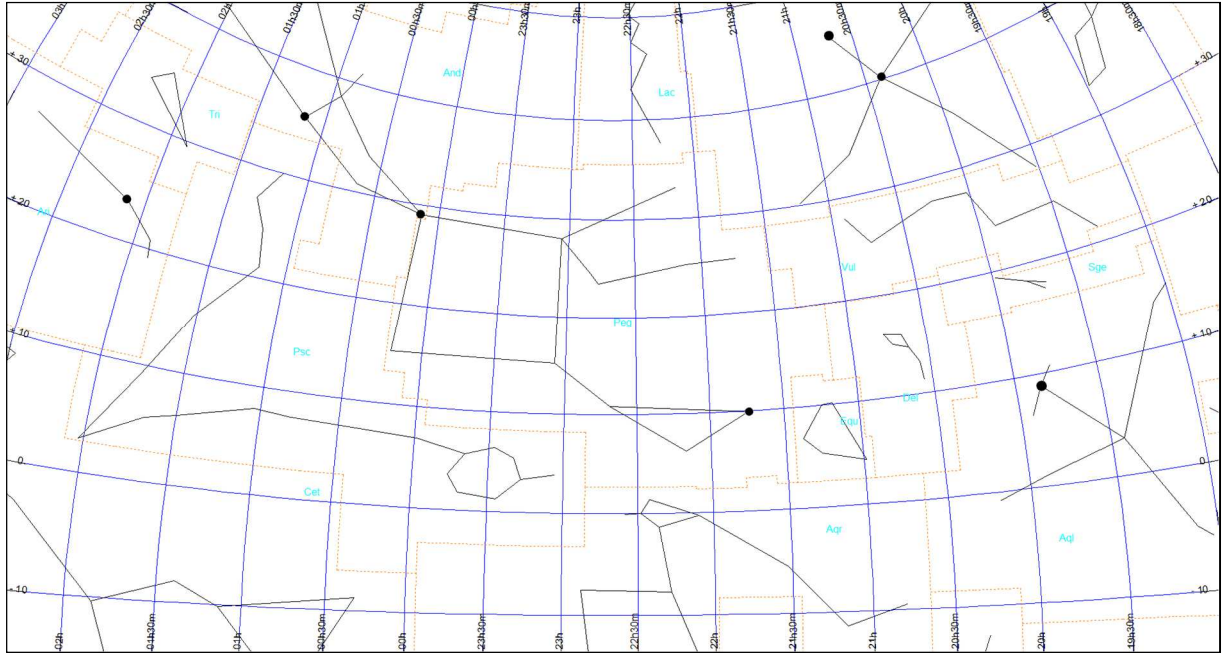
Mapa Peg-0



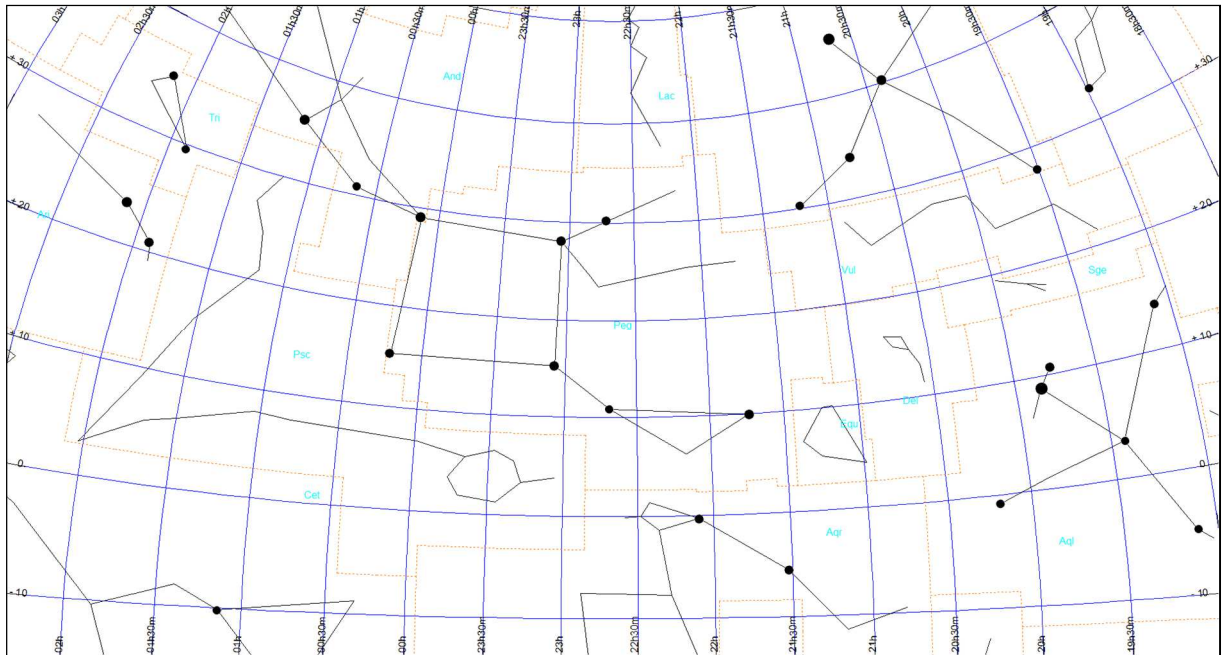
Mapa Peg-1



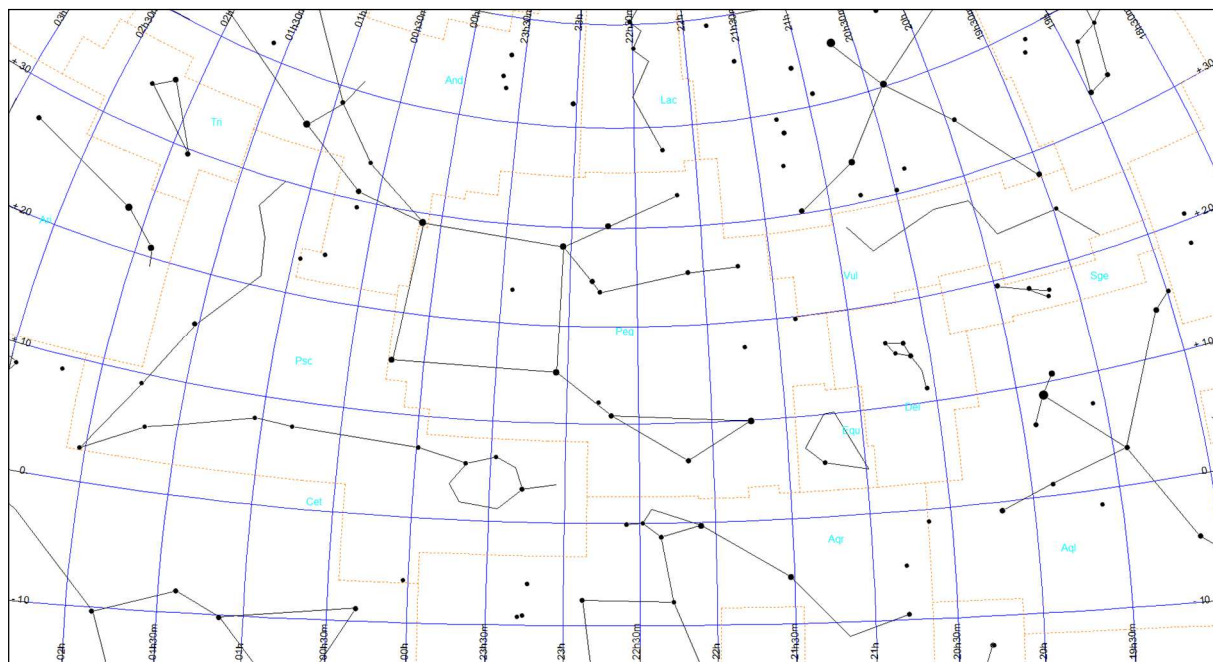
Mapa Peg-2



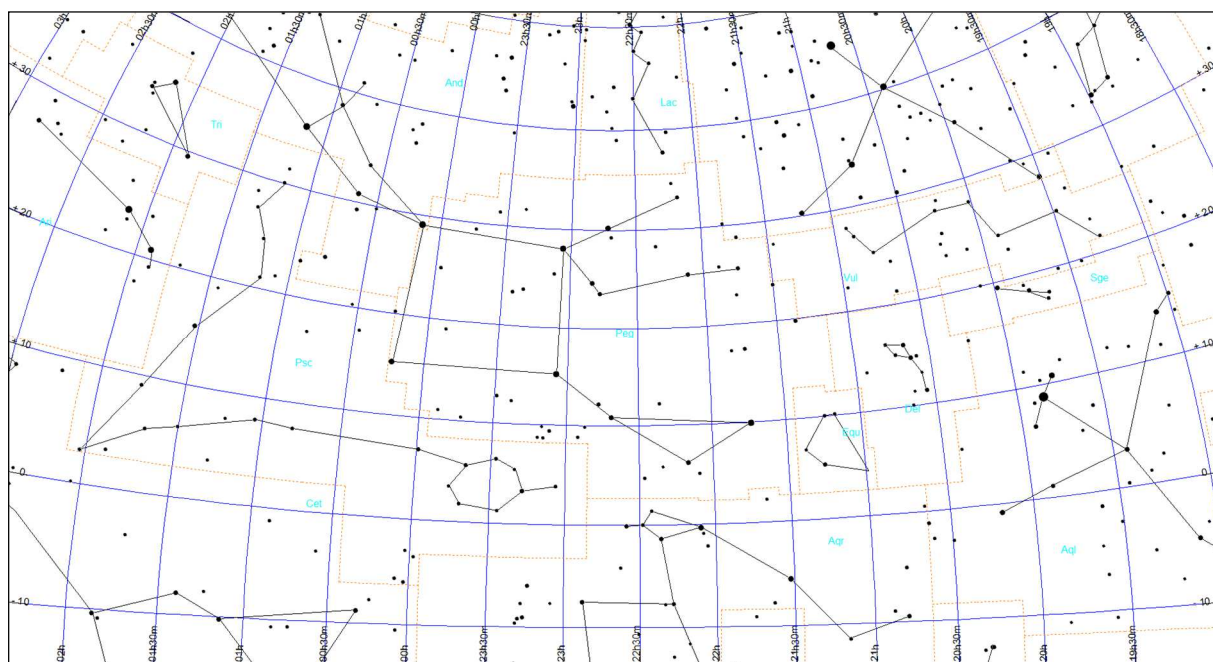
Mapa Peg-3



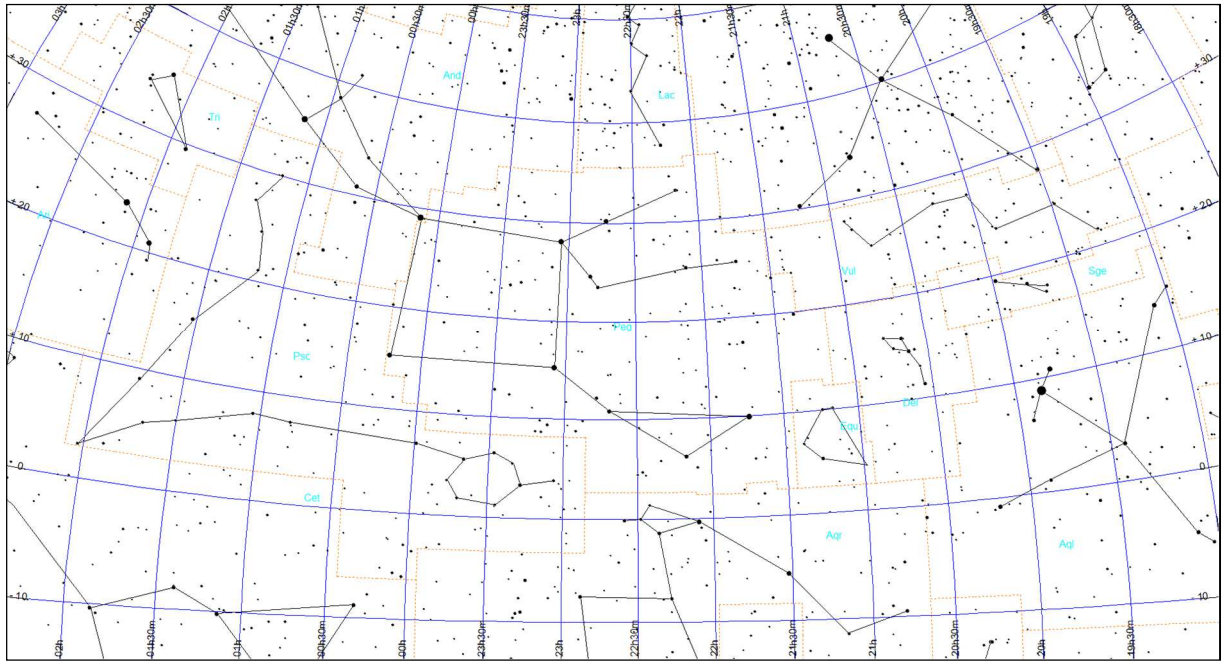
Mapa Peg-4



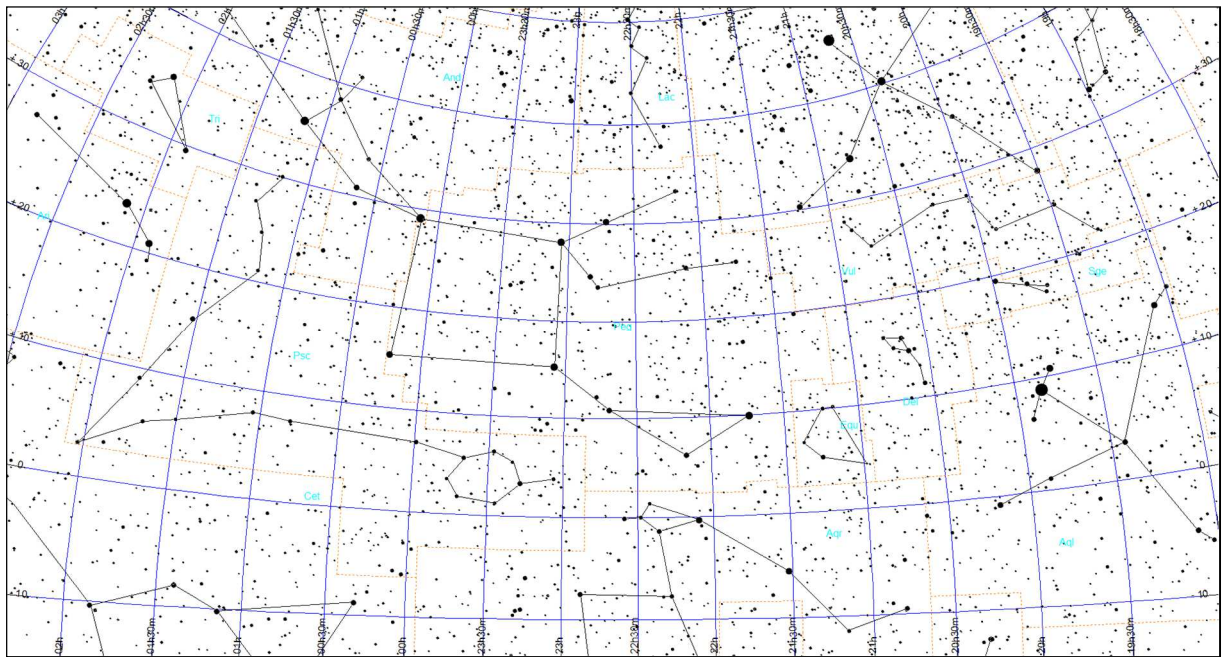
Mapa Peg-5



Mapa Peg-6

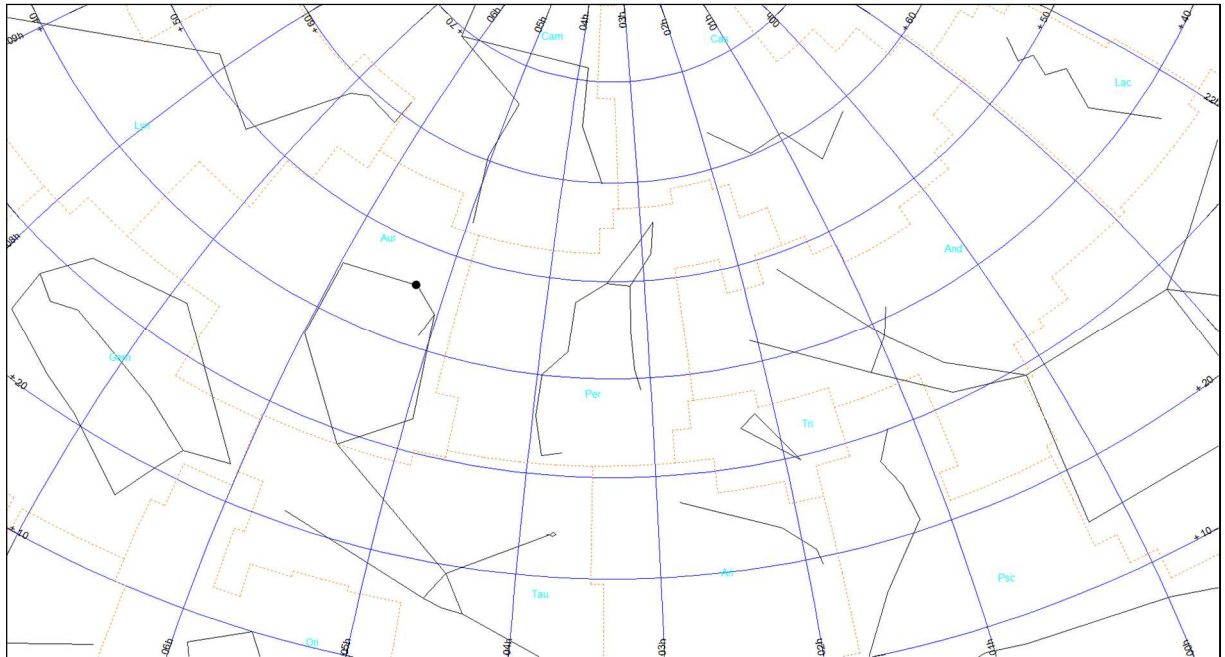


Mapa Peg-7

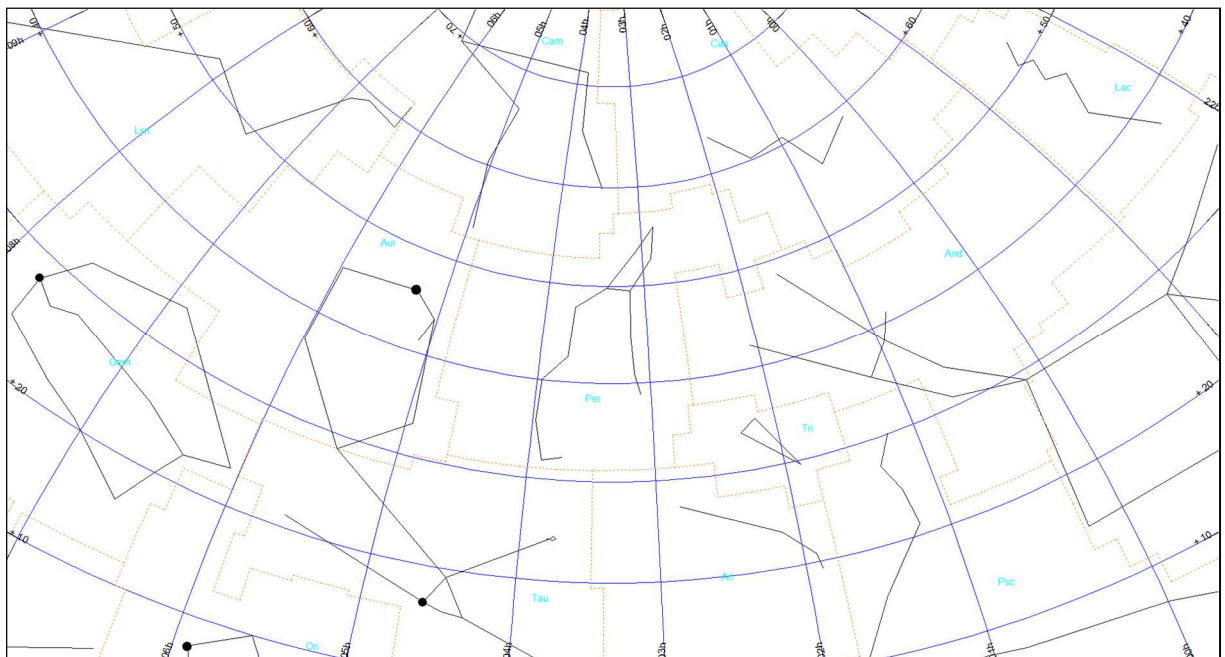


Perseusz (obszar Per)

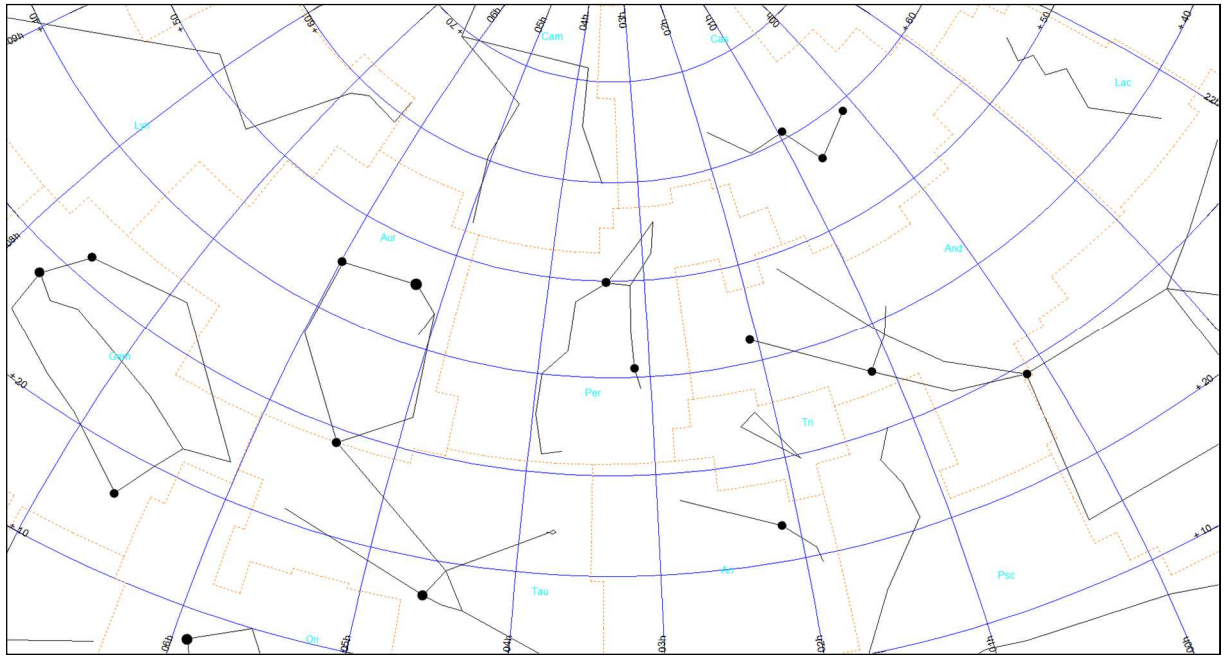
Mapa Per-0



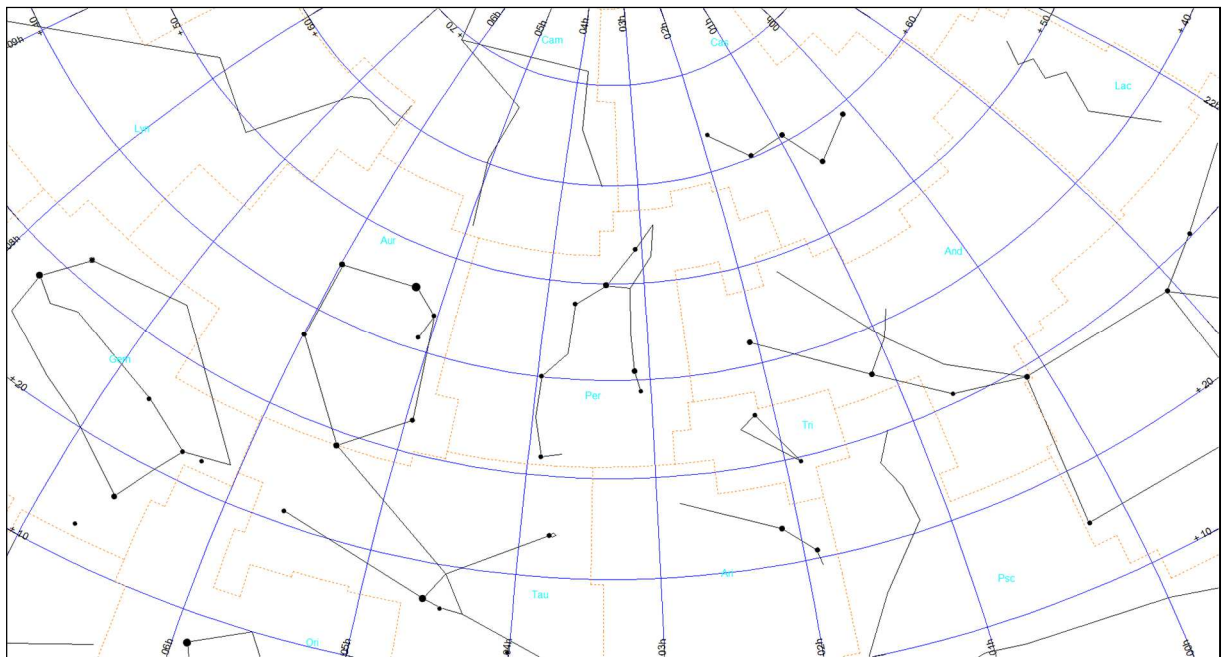
Mapa Per-1



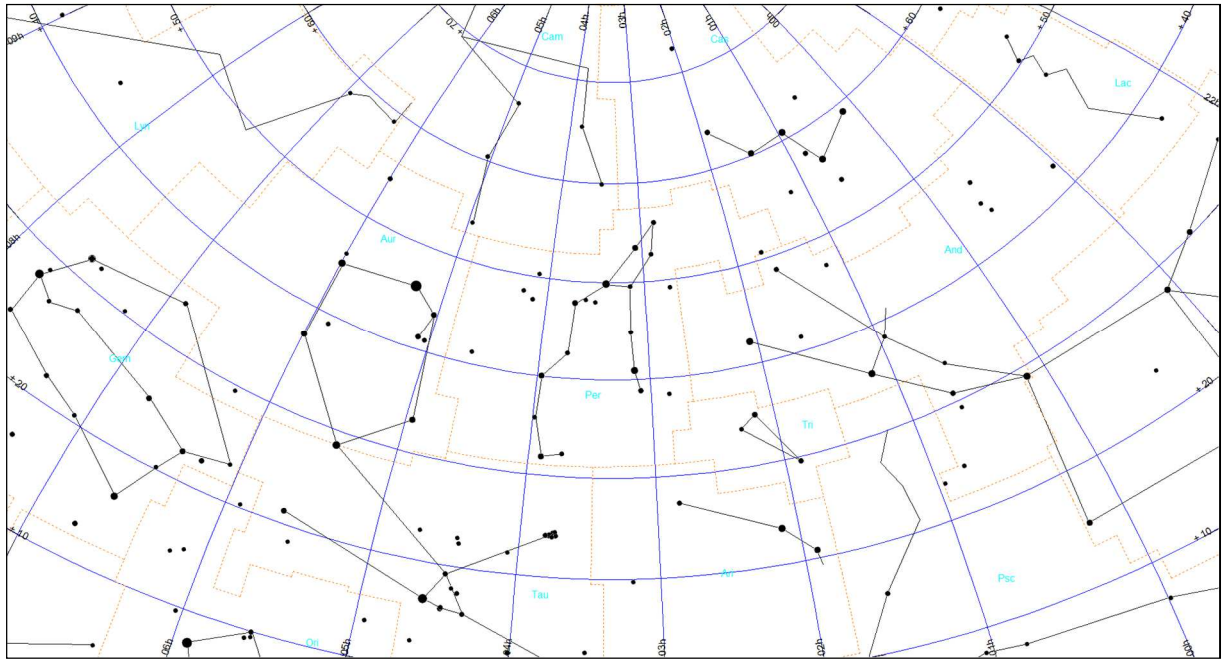
Mapa Per-2



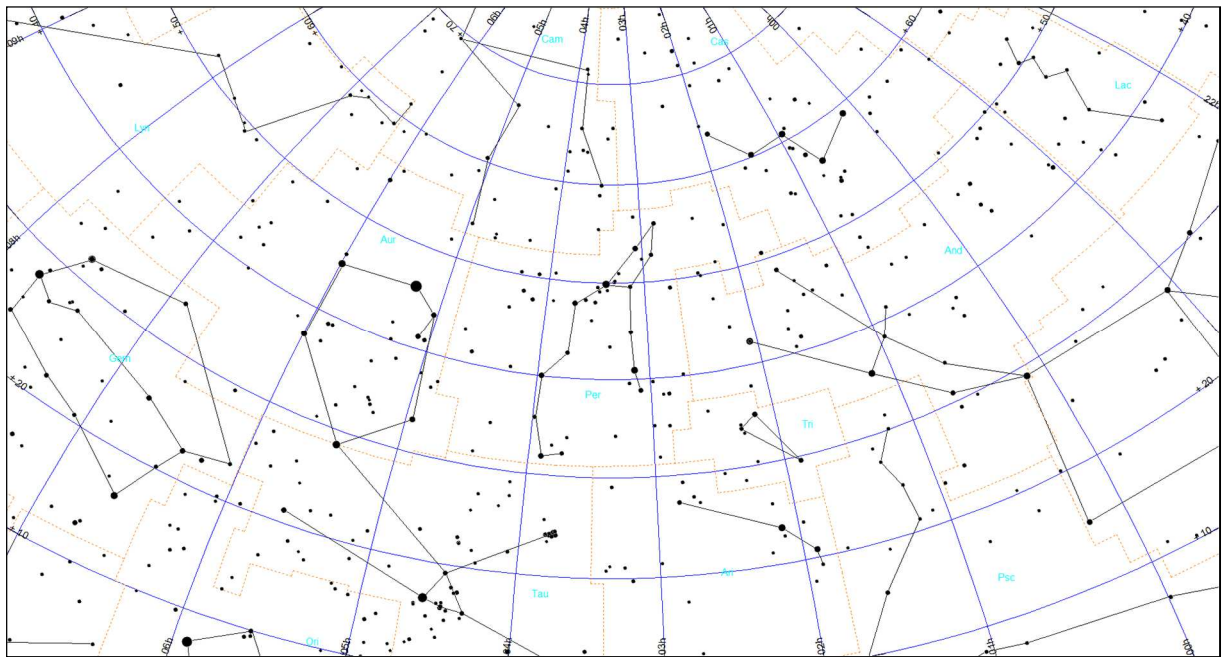
Mapa Per-3



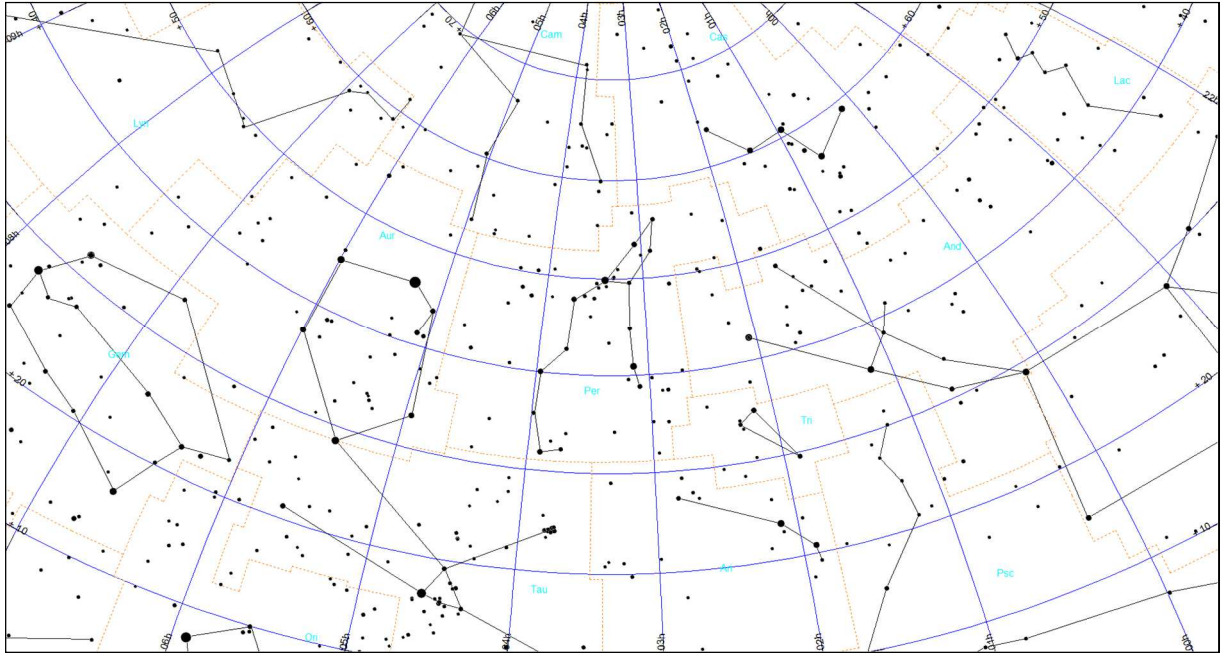
Mapa Per-4



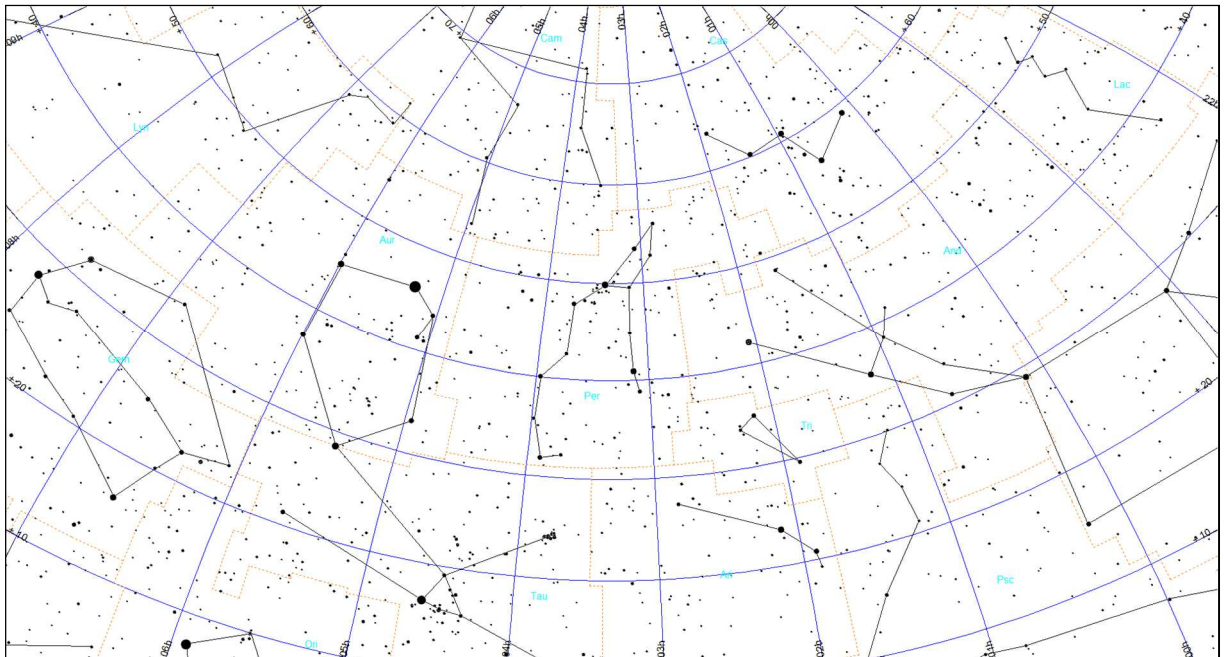
Mapa Per-5



Mapa Per-6



Mapa Per-7

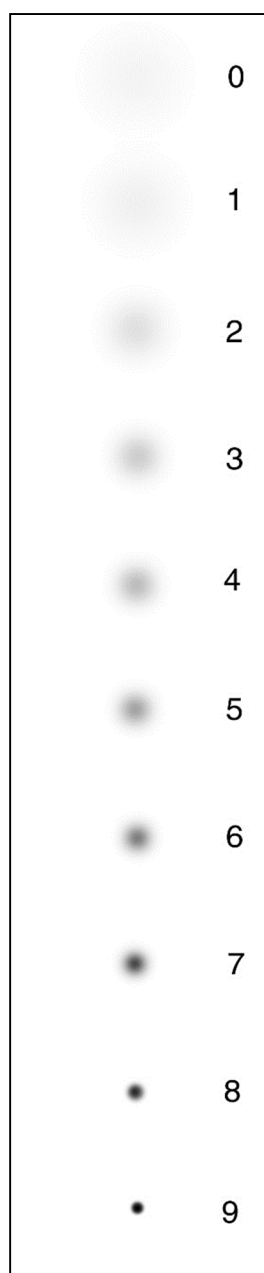


Metoda kometarna (KOM)

Metoda obserwacyjna oceniania jasności nocnego nieba (nazwana metodą kometarną) opracowana została przez Autora niniejszej pracy⁵⁵ i oparta jest na pomiarach jasności powierzchniowej najślabszych widocznych na niebie obiektów rozmytych.

Jasność ta powinna być praktycznie równa, lecz faktycznie jest nieco większa od jasności powierzchniowej nocnego nieba.

Ważne jest jednak, aby wybrane do analizy obiekty miały możliwe jak najbardziej płaski rozkład jasności, bez jakiegokolwiek wyróżnionego maksimum - jest to powód, dla którego nie nadają się do tego celu obiekty takie jak galaktyki, gromady czy mgławice. Istnieje jednak pewna klasa obiektów astronomicznych, których znaczna część spełnia powyższy warunek, i które są powszechnie obserwowane. Są to komety.



Z punktu widzenia obserwatora kometa jest rozmytym obiektem, którego jasność powierzchniowa systematycznie maleje od środka w kierunku na zewnątrz, aż do zlania się otoczki komety z tłem nieba. W celu określenia stopnia rozmycia komet, w astronomii wprowadzono wielkość DC (ang.: degree of condensation), opisującą stopień rozmycia komety na tle nieba. Wielkość ta określa gradient między środkiem otoczki komety i jej brzegiem. Kometa o **DC = 9** wygląda jak gwiazda, podczas gdy **DC = 0** oznacza obiekt o płaskim rozkładzie jasności, którego jasność powierzchniowa jest praktycznie równa jasności powierzchniowej otaczającego tła nieba. Kometa o **DC = 5** ma wyraźne, jaśniejsze jądro oraz otoczkę, rozmywającą się na tle nieba.

Każdy obserwator komet w swoich raportach, oprócz oceny wielkości DC, podaje zarówno całkowitą wielkość gwiazdową komety, jak również maksymalną dostrzeżoną średnicę otoczki (aż do jej zlania się z tłem nieba). Na podstawie tych dwu wielkości można z łatwością policzyć jasność powierzchniową komety. Oznacza to, że dla najślabszych komet widocznych w teleskopie (bądź lornetce, czy też nawet gołym okiem) o bardzo małym DC (od 0 do 2) ich jasność powierzchniowa może służyć jako przybliżona wartość jasności powierzchniowej nieba (ściślej, określa jej dolną granicę).

Jeżeli średnicę otoczki komety D wyrazimy w sekundach kątowych ($"$, arcsec), a całkowitą jasność mag w wielkościach gwiazdowych (magnitudo), to jasność powierzchniowa komety, oznaczana S_a (wyrażona w jednostkach $\text{mag}/\text{arcsec}^2$), jest równa:

$$S_a = \text{mag} - 0.26 + 5 \cdot \log(D)$$

⁵⁵ Ścieżor T., *A new astronomical method for determining the brightness of the night sky and its application to study long-term changes in the level of light pollution*, Monthly Notices of the Royal Astronomical Society, Vol. 435, No. 1, 2013, pp. 303-310

Główną zaletą opisaną metody jest jej prostota. Na świecie działa kilkaset obserwatorów komet (w Polsce liczba ta sięga kilkudziesięciu) i każdy z obserwatorów stara się wykonać swoje obserwacje jak najstaranniej, co daje dużą próbkę wiarygodnych pomiarów umożliwiającą dalszą analizę. W ciągu każdego roku obserwowanych jest kilkanaście komet, co pozwala na praktycznie ciągły monitoring jasności nocnego nieba. Istnieje również możliwość wykorzystania archiwalnych obserwacji komet począwszy przynajmniej od początku XX w. Pozwala to na określenie długofalowych zmian poświaty niebieskiej.

Należy podkreślić, że ocena jasności całkowitej komety, jak również pomiaru średnicy otoczki jest subiektywna i może się zmieniać w zależności od obserwatora. Doświadczony obserwator określa jasność całkowitą komety z dokładnością 0,2 magnitudo a średnicę otoczki z dokładnością do 20%. W efekcie błąd maksymalny wyznaczonej wartości S_a dla takiego obserwatora wynosi 0,2 mag/arcsec², co należy uznać za wartość zadowalającą.

Na wyznaczone wartości opisywanych parametrów komety duży wpływ mają również wielkości niezwiązane z obserwatorem, jak np. zmienne warunki pogodowe. Wszystkie wspomniane czynniki, zarówno indywidualne, jak również zewnętrzne, sprawiają, że opisywaną metodę należy traktować przede wszystkim jako metodę statystyczną, wymagającą, w miarę możliwości, brania pod uwagę wielu obserwacji wykonanych przez wielu obserwatorów, jednak w przypadku doświadczonego obserwatora, potrafiącego wykonać powtarzalne, wiarygodne obserwacje, oraz przy właściwym wyborze komety (mała jasność, niskie DC) wystarcza pojedyncza obserwacja w celu wyznaczenia jasności powierzchniowej nieba w danym miejscu i czasie.

II. Metody instrumentalne (SQM, IP)

Pomiary instrumentalne wykonywane są najczęściej za pomocą prostego w obsłudze miernika jakości nocnego nieba - Sky Quality Meter (SQM) - produkowanego przez kanadyjską firmę Unihedron. Jest to mikroprocesorowy przetwornik sygnału częstotliwościowego czujnika jasności TSL237, produkowanego przez Texas Advanced Optoelectronic Solutions Inc. Mikroprocesor miernika SQM został tak oprogramowany, że odczyt z czujnika jest przeliczany na powszechnie używane w ocenie jakości nocnego nieba jednostki jasności powierzchniowej magnitudo na sekundę kątową do kwadratu - mag/arcsec².

Mierniki SQM produkowane są w czterech wersjach: SQM, SQM-L, SQM-LE i SQM-LU. Największe zastosowanie (zwłaszcza w obszarach zurbanizowanych) mają mierniki SQM-L, które w stosunku do wersji SQM różnią się, dzięki zastosowaniu prostego układu optycznego, węższym kątem zbierania światła, a zatem są przydatniejsze w mieście. Mierniki SQM posiadają kąt zbierania do 60° od osi przyrządu, natomiast dla SQM-L kąt ten wynosi zaledwie 20°. Miernik SQM-LE, nie różni się parametrami odczytu od SQM-L - jest on jedynie sterowany i sczytywany za pomocą komputera, poprzez złącze sieciowe. W dwu pierwszych odczyt jest wyzwalany ręcznie, za pomocą przycisku, i wyświetlany na ekranie cyfrowym.

Posiadacze iPhone 4S (lub nowszych) mogą zamienić swój aparat w miernik jasności nieba. W tym celu należy pobrać aplikację Dark Sky Meter ze strony <http://www.darkskymeter.com/>. Na wymienionej stronie podany jest sposób wykonywania pomiaru.